

ตัวมอดูเลทสัญญาณดิจิทัลแอนกประสงค์  
MULTIPURPOSE DIGITAL MODULATOR



ปริญญานิพนธ์นี้เป็นส่วนหนึ่งของการศึกษาตามหลักสูตรปริญญาวิศวกรรมศาสตรบัณฑิต  
สาขาวิศวกรรมโทรคมนาคม  
สถาบันเทคโนโลยีพระจอมเกล้าเจ้าคุณทหารลาดกระบัง  
ปีการศึกษา 2536

เอกสารนี้เป็นเอกสารที่สงวนไว้สำหรับการใช้งานเพื่อการศึกษาเท่านั้น ไม่อนุญาตให้นำไปใช้ประโยชน์ด้านการค้า  
ไม่ว่ากรณีใดๆทั้งสิ้น อีกทั้งห้ามมิให้ดัดแปลงเนื้อหา และต้องอ้างอิงถึงเจ้าของเอกสารทุกครั้งที่มีการนำไปใช้

# สารบัญ

	หน้า
บทคัดย่อ	
1. บทนำ	1
2. ทฤษฎี	2
2.1 สมการทั่วไปและเงื่อนไขของการมอดูเลท	2
2.2 หลักการของตัวมอดูเลทเอนกประสงค์	4
2.2.1 การสร้างสัญญาณ $a(t)$ และ $b(t)$	5
2.2.2 สถาปัตยกรรมของระบบ	6
2.2.3 การวิเคราะห์ค่าสัมประสิทธิ์ $\alpha$ และ $\beta$	7
2.2.4 ส่วนประกอบทางด้านรับ	12
3. ผลการทดลองและการวิเคราะห์ที่	13
4. สรุป	32
5. แนวทางการพัฒนา	32
6. บทแทรก	33
6.1 เงื่อนไขของการมอดูเลทแบบต่าง ๆ	33
6.1.1 ฟรีควเอนซีชีพคู่	33
6.1.2 ไบนารีชีพคู่	33
6.1.3 ควอดเตอนารีชีพคู่	34
6.1.4 8 เฟสชีพคู่	35
6.1.5 8 ควอดเดรเจอร์แอมพลิจูดมอดูเลชัน	36
6.2 แผนผังแสดงการมอดูเลทแบบดิจิทัล	38
6.3 ค่าของสัมประสิทธิ์ $\alpha$ และ $\beta$ ของการมอดูเลท	43
6.4 โปรแกรมภาษา C	46
เอกสารอ้างอิง	66
กิตติกรรมประกาศ	67

เอกสารนี้เป็นเอกสารที่สงวนไว้สำหรับการใช้งานเพื่อการศึกษาเท่านั้น ไม่อนุญาตให้นำไปใช้ประโยชน์ด้านการค้า  
ไม่ว่ากรณีใดๆทั้งสิ้น อีกทั้งห้ามมิให้ดัดแปลงเนื้อหา และต้องอ้างอิงถึงเจ้าของเอกสารทุกครั้งที่มีการนำไปใช้

ตัวมอดูเลทสัญญาณดิจิทัลอนกประสงค์  
A MULTIPURPOSE DIGITAL MODULATOR

โดย

นายนพดล โอภาพันธ์  
นายศิริพงษ์ เรืองฤทธิ์  
นายอดิศร คั่นถาวร

อาจารย์ที่ปรึกษา

รศ.ดร. กอบชัย เศรษฐาญ

บทคัดย่อ

สถาปัตยกรรมของตัวมอดูเลทสัญญาณดิจิทัล (Digital Modulator) ที่ใช้ในปัจจุบันจะมีลักษณะแตกต่างกันขึ้นอยู่กับชนิดของการมอดูเลทแบบต่างๆ ทำให้ขาดความยืดหยุ่นในการใช้งาน บทความนี้ได้นำเสนอตัวมอดูเลทสัญญาณดิจิทัลอนกประสงค์ (Multipurpose Digital Modulator) ที่สามารถทำการมอดูเลทได้หลายแบบโดยใช้ซอฟต์แวร์ (Soft-ware) ในการทำงานตามหลักการของตัวแยกสัญญาณ (Resolver) และตัวสร้างสัญญาณตัวอย่าง (Sample Generator)

**Abstract**

Architecture of digital modulators widely used at the present are vary with various types of modulation schemes, then lack of flexibility in any applications. This paper presents a multipurpose digital modulator that can operate many kinds of digital modulations by using software to process in the method of the resolver and the sample generator.

เอกสารนี้เป็นเอกสารที่สงวนไว้สำหรับการใช้งานเพื่อการศึกษาเท่านั้น ไม่นิยมนำไปใช้ประโยชน์ด้านการค้า  
ไม่ว่ากรณีใดๆทั้งสิ้น อีกทั้งห้ามมิให้ดัดแปลงเนื้อหา และต้องอ้างอิงถึงเจ้าของเอกสารทุกครั้งที่มีการนำไปใช้

ปริญญาโทชั้นปีการศึกษา 2536

ภาควิชาวิศวกรรมโทรคมนาคม

คณะวิศวกรรมศาสตร์ สถาบันเทคโนโลยีพระจอมเกล้า เจ้าคุณทหารลาดกระบัง

เรื่อง ตั๋วออกเลขสัญญาณดิจิทัลอนกประสงค์

คณะผู้จัดทำ

1. นายนพดล โอภาพันธ์ 33100157
2. นายศิริพงษ์ เรืองฤทธิ์ 33100374
3. นาย อติสร ตันถาวร 33100477



เอกสารนี้เป็นเอกสารที่สงวนไว้สำหรับการใช้งานเพื่อการศึกษาเท่านั้น ไม่อนุญาตให้นำไปใช้ประโยชน์ด้านการค้า  
ไม่ว่ากรณีใดๆทั้งสิ้น อีกทั้งห้ามมิให้ดัดแปลงเนื้อหา และต้องอ้างอิงถึงเจ้าของเอกสารทุกครั้งที่มีการนำไปใช้

## 1. บทนำ

ในระบบการสื่อสารโทรคมนาคม ที่ใช้ในปัจจุบันมีความต้องการเพิ่มขึ้นอย่างมากทั้งทางคุณภาพ ปริมาณและความยืดหยุ่นในการใช้งาน ด้วยเหตุนี้ระบบการสื่อสารแบบดิจิทัล (Digital Communication Systems) ที่ให้ความถูกต้องแม่นยำมากกว่าจึงเข้ามาแทนที่ระบบการสื่อสารแบบอนาล็อก (Analog Communication Systems) และในการส่งสัญญาณหรือข้อมูลในระบบต่างๆ เช่น ระบบโทรศัพท์ ระบบสื่อสารดาวเทียมภาคพื้นดิน หรือระบบสื่อสารดาวเทียมอวกาศ (Aeronautical or Land Mobile Satellite Systems) เป็นต้น จำเป็นต้องใช้เทคนิคการมอดูเลตสัญญาณดิจิทัลที่ละเอียดและซับซ้อน ทำให้ต้องมีการศึกษาและค้นคว้าเทคนิคในการมอดูเลตแบบต่างๆ เพื่อพัฒนาให้ทันกับความต้องการของตลาดการสื่อสารที่เป็นอยู่

แต่จะเห็นได้ว่า ตัวมอดูเลตสัญญาณดิจิทัลที่มีอยู่นั้นยังขาดความยืดหยุ่นในการใช้งาน เช่น อุปกรณ์สื่อสารทางคอมพิวเตอร์ที่เรียกว่าโมเด็ม (Modem) โดยทั่วไปจะสามารถส่งสัญญาณที่ได้จากการมอดูเลตสัญญาณดิจิทัลเพียงรูปแบบเดียว ทำให้ไม่สามารถรับส่งสัญญาณกับโมเด็มที่มีรูปแบบการมอดูเลตแบบอื่นได้ หรือ ในระบบการสื่อสารใหม่ๆ ที่ไม่สามารถติดต่อสื่อสารกับระบบย่อยที่มีการมอดูเลตแบบต่างๆ ได้ ดังนั้นจึงได้พัฒนาตัวมอดูเลตแบบที่ส่งสัญญาณจากมอดูเลตได้หลายรูปแบบ ทำให้มีความยืดหยุ่นในการใช้งานกับระบบต่างๆ ซึ่งในบทความนี้ได้นำเสนอตัวมอดูเลตสัญญาณดิจิทัลแบบที่ส่งสัญญาณโดยใช้ซอฟต์แวร์ในการสร้างและมอดูเลตสัญญาณเบสแบนด์ (Baseband Signals) แทนการใช้ฮาร์ดแวร์ (Hardware) ที่มีอยู่เดิม

2. ทฤษฎี

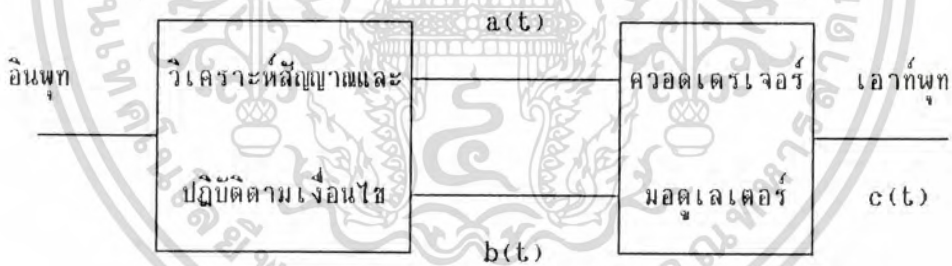
2.1 สมการทั่วไปและเงื่อนไขการมอดูเลชั่น  
สมการทั่วไปของการมอดูเลชั่น

$$c(t) = a(t)\cos(\omega_c t) + b(t)\sin(\omega_c t) \quad (1)$$

โดยที่

- $c(t)$  คือ สัญญาณผลรวมของสัญญาณรูปไซน์และโคไซน์ด้วยขนาดต่าง ๆ
- $\cos(\omega_c t), \sin(\omega_c t)$  คือ สัญญาณคลื่นพาห้ที่มีความถี่ ( $\omega_c$ ) เท่ากัน แต่มีเฟสต่างกัน  $90^\circ$
- $a(t), b(t)$  คือ แอมพลิจูดของสัญญาณโคไซน์และไซน์ตามลำดับ
- $\omega_c$  คือ ความถี่เชิงมุมของคลื่นพาห้

เราสามารถออกแบบอุปกรณ์ให้สร้างสัญญาณตามสมการ (1) หลักการทำงานโดยทั่วไปของอุปกรณ์แสดงได้ตามแผนผังข้างล่าง

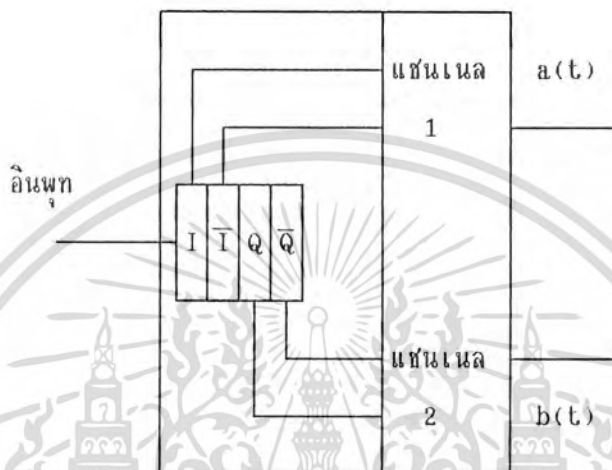


รูปที่ 2.1

เมื่อทำการเปลี่ยนรูปแบบการมอดูเลท ส่วนวิเคราะห์สัญญาณและปฏิบัติตามเงื่อนไขต้องสร้างขึ้นมาใหม่เพื่อให้ตรงตามเงื่อนไขของการมอดูเลทแต่ละแบบ เงื่อนไขจะเป็นตัวกำหนดสัมประสิทธิ์  $a(t), b(t)$  และทำให้เกิดจิตดลมอดูเลชั่นแบบต่าง ๆ พื้นฐานสำคัญที่จะนำเราไปสู่หลักการมอดูเลชั่นเอนกประสงค์คือ การที่สามารถวิเคราะห์และเข้าใจเงื่อนไขการมอดูเลทแต่ละแบบได้ ในที่นี้จะนำมาแสดงเพียง 16 ควอดเรเจอร์แอมพลิจูดมอดูเลชั่น (Sixteen Quadrature Modulation (16QAM)) ส่วนเงื่อนไขการมอดูเลทแบบอื่นดูได้จากบทแทรก

16 ควอดเทรเจอ์แอมป์ลิจูดมอดูเลชันเป็นการเข้ารหัส M-ary เมื่อ  $M = 16$  แสดงว่ามีอินพุตบิต 4 บิต ข้อมูลทางด้านอินพุตเป็นกลุ่มของบิตข้อมูล 4 บิต ดังนั้นจะทำการวิเคราะห์สัญญาณที่เข้ามาครั้งละ 4 บิต เอาท์พุทที่ได้จะมี 16 ค่าที่ต่างกันตามเงื่อนไขที่คล้ายกับ 8 ควอดเทรเจอ์แอมป์ลิจูดมอดูเลชัน

วงจรวิเคราะห์และปฏิบัติตามเงื่อนไข



รูปที่ 2.2

ตารางที่ 2.1

ลอจิกของ I	ลอจิกของ $\bar{I}$	$a(t)$	ลอจิกของ Q	ลอจิกของ $\bar{Q}$	$b(t)$
0	0	-x v	0	0	-x v
0	1	-y v	0	1	-y v
1	0	+x v	1	0	+x v
1	1	+y v	1	1	+y v

จากรูปที่ 2.2 สัญญาณอินพุทที่รับเข้ามาจะถูกแยกออกเป็น 2 แชนเนล เพื่อนำไปวิเคราะห์ตามเงื่อนไขดังตารางที่ 2.1 ซึ่งแสดงให้เห็นว่า ลอจิกของบิต I และ  $\bar{I}$  เป็นเงื่อนไขในการกำหนดค่าของ  $a(t)$  ส่วนลอจิกของบิต Q และ  $\bar{Q}$  เป็นเงื่อนไขในการกำหนดค่าของ  $b(t)$  ลอจิกของ I และ Q ใช้ในการกำหนดค่าของ  $a(t)$  และ  $b(t)$

ตามลำดับว่าเป็นบวกหรือลบ ลอจิกของ  $\bar{I}$  และ  $\bar{Q}$  ใช้ในการกำหนด  $a(t)$  และ  $b(t)$

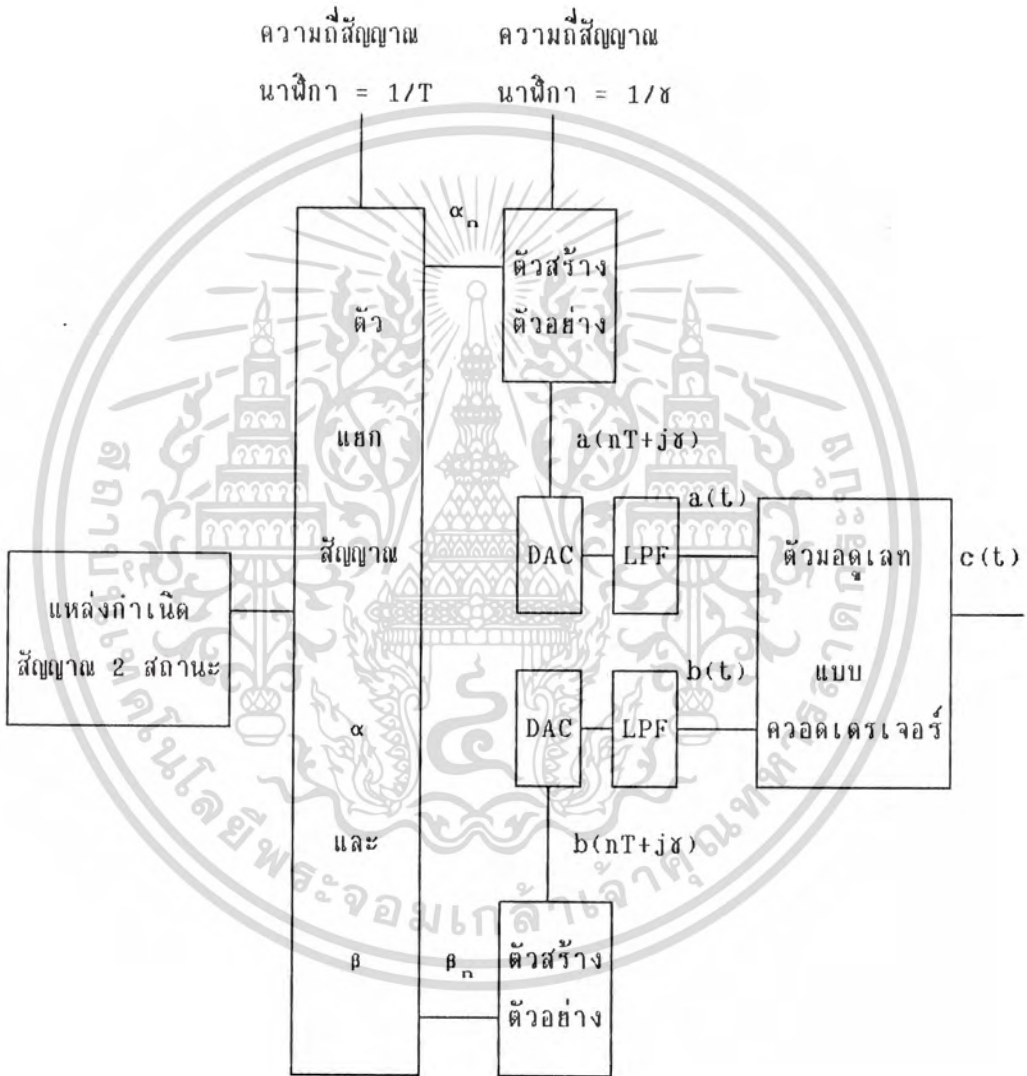
เอกสารนี้เป็นเอกสารที่สงวนไว้สำหรับการใช้งานเพื่อการศึกษาเท่านั้น ไม่นิยมนำไปใช้ประโยชน์ด้านการค้าตามลำดับความขนาดเท่ากับ x volt หรือ y volt

ไม่ว่ากรณีใดๆทั้งสิ้น อีกทั้งห้ามมิให้ดัดแปลงเนื้อหา และต้องอ้างอิงถึงเจ้าของเอกสารทุกครั้งที่มีการนำไปใช้

### 2.2 หลักการของตัวมอดูเลตแอนกประสงค์

การทำงานของซาร์ดแวนร์มีแผนผังแสดงส่วนประกอบของตัวมอดูเลตแอนกประสงค์ดัง

รูป 2.3



รูปที่ 2.3

เอกสารนี้เป็นเอกสารที่สงวนไว้สำหรับการใช้งานเพื่อการศึกษาเท่านั้น ไม่อนุญาตให้นำไปใช้ประโยชน์ด้านการค้า ไม่ว่ากรณีใดๆทั้งสิ้น อีกทั้งห้ามมิให้ดัดแปลงเนื้อหา และต้องอ้างอิงถึงเจ้าของเอกสารทุกครั้งที่มีการนำไปใช้

### 2.2.1 การสร้างสัญญาณ $a(t)$ และ $b(t)$

รูปร่างของสัญญาณพัลส์ ( Pulse ) มีผลต่อสเปกตรัมของสัญญาณ ถึงแม้ว่าโดยทั่วไปแล้ว  $a(t)$  และ  $b(t)$  จะมีความสัมพันธ์กัน ( Correlate ) แต่ก็สามารถกรองสัญญาณแยกออกจากกันได้ ถ้าให้  $h(t)$  แทนรูปร่างพัลส์ที่ใช้แสดงข่าวสารดิจิทัล รูปสัญญาณของ  $a(t)$  และ  $b(t)$  สามารถแสดงได้ดังสมการที่ 2

$$a(t) = \sum \alpha_i h(t - iT) \quad (2)$$

$$b(t) = \sum \beta_i h(t - iT)$$

โดยที่  $\alpha_i$  และ  $\beta_i$  เป็นสัมประสิทธิ์ ที่มีค่าขึ้นอยู่กับสัญญาณจากแหล่งกำเนิดที่เวลา  $iT$  โดยกำหนดให้  $T$  แทนคาบเวลาของสัญลักษณ์ และ  $i$  แทนดัชนีนับสัญลักษณ์ ( symbol-count index ) ตัวอย่างเช่น สัญญาณของ 8PSK จะมีคาบเวลา  $T$  ของสัญลักษณ์เป็นสามเท่าของคาบเวลาบิต ( bit duration ) ซึ่งถ้าไม่มีการจำกัดแถบความถี่ของสัญญาณแล้ว  $h(t)$  จะถูกจำกัดด้วยคาบเวลา  $T$  ทั้งนี้เพื่อหลีกเลี่ยงไม่ให้เกิดการรบกวนกันของสัญญาณระหว่างสัญลักษณ์ ( Inter Symbol Interference, ISI ) แต่ถ้ามีการจำกัดแถบความถี่แล้ว สัญญาณ  $a(t)$  และ  $b(t)$  จะถูกรบกวนจากสัญลักษณ์ข้างเคียงมากกว่า 1 สัญลักษณ์

เพราะว่าในทางปฏิบัติ สัญญาณ  $a(t)$  และ  $b(t)$  จะถูกจำกัดด้านแถบความถี่ ดังนั้นจะต้องถูกสุ่มตัวอย่าง ( Sampling ) ด้วยอัตราการสุ่มตัวอย่าง ( Sampling Rate ) ที่เพียงพอ ถ้ากำหนดให้  $\Delta$  แทนคาบเวลาในการสุ่มตัวอย่าง ดังนั้น ค่าสัญญาณตัวอย่าง ( Samples ) ของ  $a(t)$  และ  $b(t)$  ที่คาบเวลา  $n$  จะมีรูปสมการเป็นดังนี้

$$a(nT + j\Delta) = \sum \alpha_i h[j\Delta + (n - i)T] \quad (3)$$

$$b(nT + j\Delta) = \sum \beta_i h[j\Delta + (n - i)T]$$

โดยที่  $j$  เป็นเลขจำนวนเต็มที่มีตำแหน่งในการสุ่มตัวอย่างภายใน 1 คาบเวลา ถ้าให้สุ่มตัวอย่าง  $L$  ค่าต่อ 1 สัญลักษณ์ จะได้ว่า  $1 < j < L$

ในทางปฏิบัติการรบกวนกันระหว่างสัญลักษณ์จะถูกจำกัดด้วยจำนวนจำกัดของสัญลักษณ์ ถ้าให้ความยาวของการรบกวนระหว่างสัญลักษณ์ในเทอมของสัญลักษณ์เป็น  $2M$  ดังนั้นจะสามารถเขียนสมการที่ 3 ได้เป็น

เอกสารนี้เป็นเอกสารที่สงวนไว้สำหรับการใช้งานเพื่อการศึกษาเท่านั้น ไม่อนุญาตให้นำไปใช้ประโยชน์ด้านการค้า ไม่ว่าจะกรณีใดๆทั้งสิ้น อีกทั้งห้ามมิให้ดัดแปลงเนื้อหา และต้องอ้างอิงถึงเจ้าของเอกสารทุกครั้งที่มีการนำไปใช้

$$a(nT+j\tau) = \sum_{k=-M}^{M-1} \alpha_{-k+n} h(j\tau+kT) \quad (4ก)$$

$$b(nT+j\tau) = \sum_{k=-M}^{M-1} \beta_{-k+n} h(j\tau+kT) \quad (4ข)$$

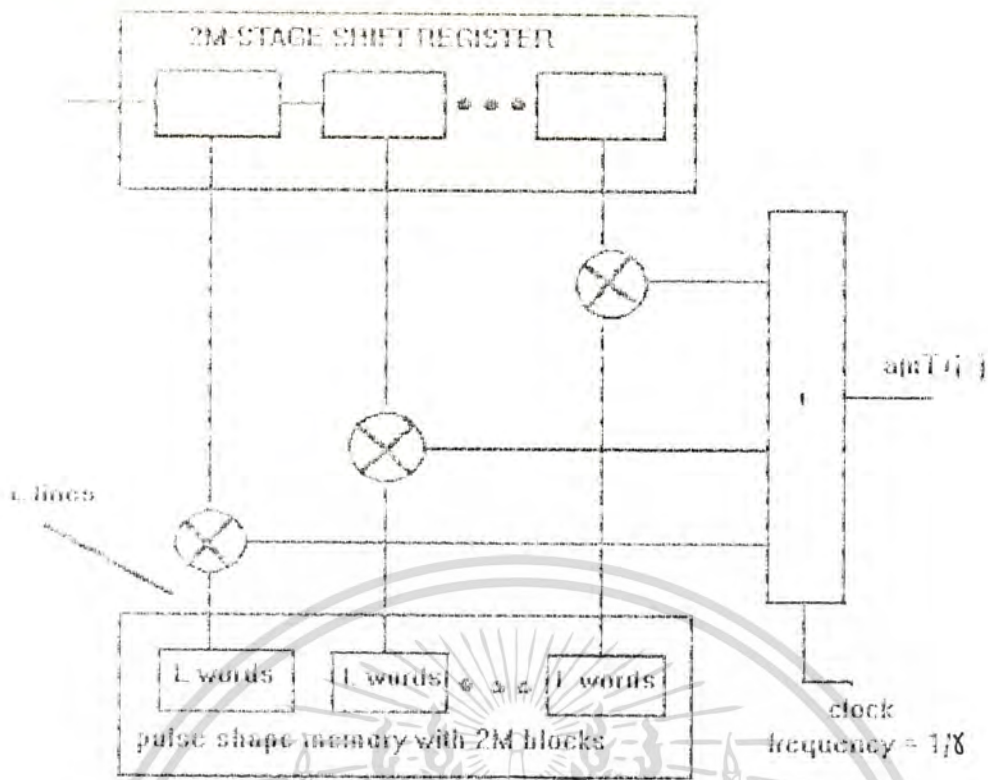
สมการที่ (4ก) และ (4ข) แสดงถึงแต่ละค่าของสัญญาณตัวอย่าง ของสัญญาณ  $a(t)$  และ  $b(t)$  ซึ่งเป็นผลลัพธ์มาจากการคูณ  $2M$  ครั้ง จะเห็นว่า ต้องคูณ  $2ML$  ครั้ง ต่อ 1 สัญญาณหลักเพื่อสร้างสัญญาณ  $a(t)$ , สำหรับ  $b(t)$  ก็เช่นเดียวกัน ดังนั้นจำนวนครั้งทั้งหมดของการคูณใน 1 วินาที ในการสร้างค่าสัญญาณตัวอย่างของสัญญาณ  $a(t)$  และ  $b(t)$  เท่ากับ  $(4ML)/T$  ซึ่งการเลือกค่า  $M$ ,  $L$  และ ตัวประกอบต่าง ๆ ที่เหมาะสมจะทำให้มีความถูกต้องมากยิ่งขึ้น

### 2.2.2 สถาปัตยกรรมของระบบ

จากทฤษฎีของการมอดูเลตสัญญาณดิจิทัล ( Digital Modulation ) แบบต่าง ๆ สามารถเขียนเป็นแผนผังส่วนประกอบต่าง ๆ ของตัวมอดูเลตสัญญาณดิจิทัลแอนะล็อกได้ดังรูปที่ 2.3

จากแผนผังดังรูป ข้อมูล 2 สถานะ (binary) จากแหล่งกำเนิดถูกป้อนเข้าวงจรแยกสัญญาณ ( resolver ) เพื่อหาค่าสัมประสิทธิ์  $\alpha_n$  และ  $\beta_n$  ซึ่งให้ค่าออกมาในอัตรา  $1/T$  แล้วป้อนให้กับตัวสร้างสัญญาณตัวอย่าง ( sample generator ) จะได้สัญญาณตัวอย่างของ  $a(t)$  และ  $b(t)$  เป็น  $a(nT+j\tau)$  และ  $b(nT+j\tau)$  ตามลำดับ ในอัตราเท่ากับ  $1/\tau$  สัญญาณเหล่านี้ถูกเปลี่ยนเป็นสัญญาณต่อเนื่อง โดยผ่านตัวเปลี่ยนสัญญาณตัวเลขเป็นสัญญาณต่อเนื่อง (Digital-to-Analog Converter (DAC)) และถูกผ่านไปยังวงจรกรองความถี่ต่ำ ( Low Pass Filter (LPF) ) แล้วนำไปมอดูเลตกับคลื่นพาห์ในตัวมอดูเลตแบบควอดเรเจอร์ ( Quadrature modulator ) สัญญาณที่ได้ออกมาคือ  $c(t)$  ที่พร้อมจะส่งออกไป

ตัวแยกสัญญาณเพื่อหาค่าสัมประสิทธิ์  $\alpha$  และ  $\beta$  นั้น ในทางอุปกรณ์จะเป็นหน่วยความจำประเภท ROM โดยจะเก็บค่าสัมประสิทธิ์  $\alpha$  และ  $\beta$  ของการมอดูเลตไว้ทุกแบบ โดยการพิจารณา  $\alpha$  และ  $\beta$  ขึ้นอยู่กับสัญญาณไบนารีที่เข้ามาและการเลือกชนิดของการมอดูเลต



รูปที่ 2.4 แสดงบล็อกไดอะแกรมของตัวสร้างสัญญาณตัวอย่าง

เนื่องจากฟังก์ชันของตัวสร้างสัญญาณตัวอย่างของทั้งสองตัวเหมือนกัน เพราะฉะนั้นจะอธิบายเพียงตัวบนเท่านั้น ตัวสร้างสัญญาณตัวอย่างประกอบด้วยซีพรีจิสเตอร์ 2M ชั้นเก็บค่าที่เป็นปัจจุบันของ  $\alpha_n$  จำนวน 2M ค่าและมีหน่วยความจำขนาด 2M บล็อกสำหรับเก็บรูปร่างพัลส์ แต่ละบล็อกของหน่วยความจำประกอบด้วย L เวิร์ด (word) ซึ่งแต่ละเวิร์ดจะเก็บค่าสัญญาณตัวอย่างของรูปร่างพัลส์ โดยที่ขนาดของเวิร์ดขึ้นอยู่กับผลของการจัดระดับสัญญาณ (Quantization) ซีพรีจิสเตอร์จะถูกควบคุมโดยสัญญาณนาฬิกาความถี่  $1/T$  และหน่วยความจำของรูปร่างพัลส์จะถูกควบคุมด้วยสัญญาณนาฬิกาความถี่  $1/\chi$  โดย  $T/\chi = L$  ตัวคูณจะทำงาน  $1/\chi$  ครั้งต่อวินาที และตัวบวกจะทำการรวมสัญญาณที่เข้ามา 2M ค่าเพื่อส่งไปเป็นค่าสัญญาณตัวอย่างของ  $a(t)$

2.2.3 การวิเคราะห์ค่าสัมประสิทธิ์  $\alpha$  และ  $\beta$

โดย  $\alpha$  เป็นตัวกำหนดสัมประสิทธิ์ของ  $\cos \omega_c t$  ส่วน  $\beta$  เป็นตัวกำหนดสัมประสิทธิ์ของ  $\sin \omega_c t$  ในที่นี้จะอธิบายถึงการหาค่า  $\alpha$  และ  $\beta$  ของการมอดูเลตแบบ PSK และ QAM ซึ่งเป็นรูปแบบที่นิยมใช้กัน ส่วนรูปแบบอื่นที่ไม่ได้กล่าวถึงก็สามารถหาค่า  $\alpha$  และ  $\beta$  โดยใช้วิธีการพิจารณาเช่นเดียวกับ PSK และ QAM

กรณีของ PSK ถ้าพิจารณาจากเอกลักษณ์ของ PSK แบบต่าง ๆ จะพบว่า เอกลักษณ์ของ PSK ในแต่ละแบบนี้จะมีค่าแอมพลิจูดของเอกลักษณ์เท่ากันทุกค่า แต่ละค่าจะต่างกันเนื่องไม่เท่ากรณีใดๆทั้งสิ้น อีกทั้งยังมีให้ตัดแปลงเนื้อหา และต้องอ้างอิงถึงเจ้าของเอกสารทุกครั้งที่มีการนำไปใช้

จากมุม  $\phi$  ที่ต่างกัน (ท่ามกับแกนอ้างอิงในทิศทางของมุม  $+\phi$  หรือมุม  $-\phi$ ) เพราะฉะนั้นจะได้ข้อสรุปว่า สัมประสิทธิ์ที่เป็นตัวกำหนดเฟเซอร์ค่าต่าง ๆ หรือ แพนดิงคอนสเทลเลชัน ( constellation ) ตำแหน่งต่าง ๆ จะเป็นฟังก์ชันของไซน์ซอยดอล (sinusoidal) ของมุม  $\phi$  เพียงอย่างเดียว กรณีของ QAM เมื่อพิจารณาค่าเอทพทของ QAM จะพบว่า สัมประสิทธิ์ที่เป็นตัวกำหนดเฟเซอร์ค่าต่าง ๆ หรือคอนสเทลเลชันตำแหน่งต่าง ๆ จะเป็นฟังก์ชันไซน์ซอยดอลของมุม  $\phi$  และฟังก์ชันของแอมปลิจูดด้วย

มุม  $\phi$  ในการวิเคราะห์นี้ คือมุมเล็กระหว่างเฟเซอร์กับแกนอ้างอิง เฟเซอร์จะท่ามกับแกนอ้างอิง 2 แกนที่ตั้งฉากกัน ซึ่งจะทำให้เกิดมุม 2 มุม โดยจะให้มุมที่เล็กระหว่างมุม 2 มุมนั้นเป็นมุม  $\phi$  ดังรูปที่ 2.5 จะเห็นว่า มุม #1 เล็กกว่ามุม #2 เพราะฉะนั้นมุม #1 จึงเป็นมุม  $\phi$



รูปที่ 2.5 แสดงมุม  $\phi$  ที่เกิดขึ้น

จากสมการ

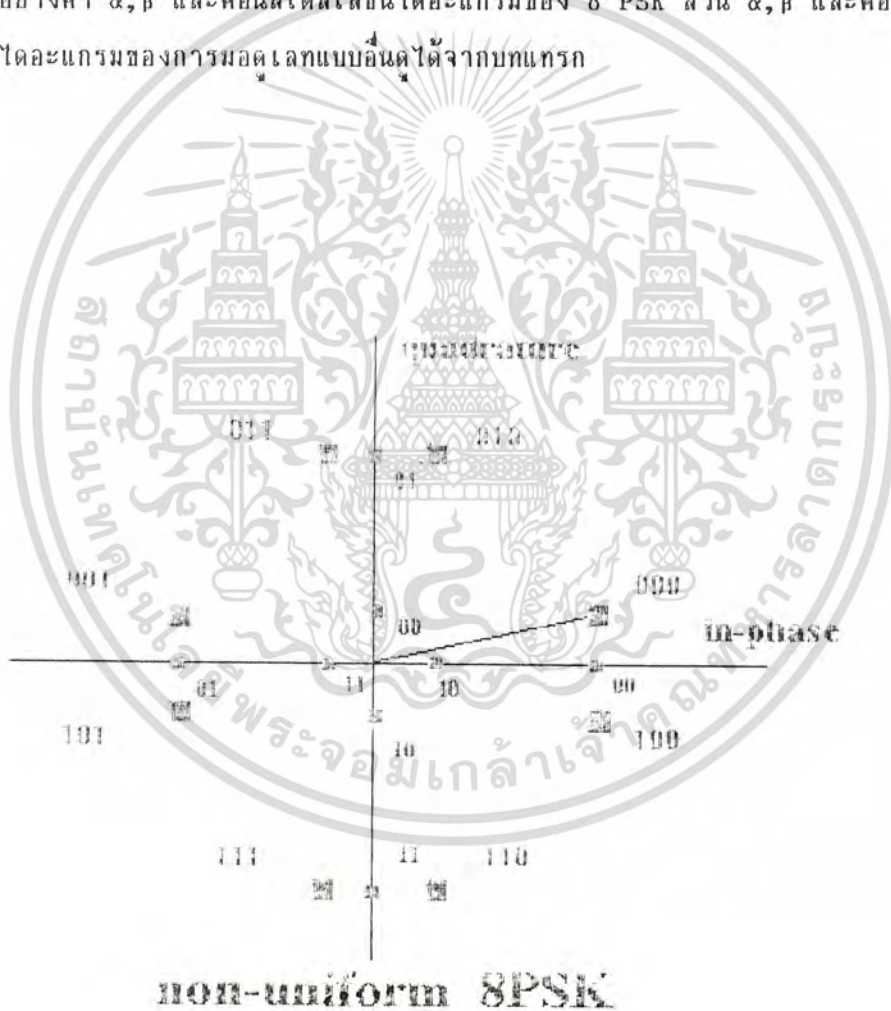
$$c(t) = a(t)\cos w_c t + b(t)\sin w_c t$$

เมื่อจัดให้อยู่ในฟังก์ชันของ sine หรือ cosine และ ถ้าแกนอ้างอิงอินเฟสเป็น  $\cos w_c t$  เฟสที่ได้ในรูป  $w_c t - \phi$  จะคือมุมที่เปลี่ยนจาก  $w_c t$  ไปทางซ้ายของแกนอ้างอิงเท่ากับ  $\phi$  ส่วนเฟสที่ได้ในรูป  $w_c t + \phi$  จะคือมุมที่เปลี่ยนจาก  $w_c t$  ไปทางขวาของแกนอ้างอิงเท่ากับ  $\phi$  แต่ถ้าแกนอ้างอิงอินเฟสเป็น  $\sin w_c t$  เฟสที่ได้ในรูป  $w_c t - \phi$  จะคือมุมที่เปลี่ยนจาก  $w_c t$  ไปทางขวาของแกนอ้างอิงเท่ากับ  $\phi$  ส่วนเฟสที่ได้ในรูป  $w_c t + \phi$

เอกสารนี้เป็นเอกสารที่สงวนไว้สำหรับการใช้งานเพื่อการศึกษาเท่านั้น ไม่อนุญาตให้นำไปใช้ประโยชน์ด้านการค้า จะคือมุมที่เปลี่ยนจาก  $w_c t$  ไปทางซ้ายของแกนอ้างอิงเท่ากับ  $\phi$  วิธีการพิจารณาน มุม  $\phi$  ไม่วารณใด ๆ ทั้งสิ้น อีกทั้งห้ามมิให้ดัดแปลงเนื้อหา และต้องอ้างอิงถึงเจ้าของเอกสารทุกครั้งที่มีกรนำไปใช้

จะไม่ใช้ค่าเฟสที่วิ่งไปจากแกนอ้างอิง  $\cos \omega_c t$  หรือ  $\sin \omega_c t$  เพียงแกนใดแกนหนึ่งแต่จะเป็นการคิดเฟสที่วิ่งไปจากแกนอ้างอิงทั้ง 4 แกน ซึ่งจะได้ คอนสแตลเลชันไดอะแกรมแบบนอนยูนิฟอร์ม

ค่า  $\alpha$  และ  $\beta$  ของการมอดูเลตแบบใดนั้น จะขึ้นอยู่กับเงื่อนไขเบื้องต้นที่กำหนดไว้ ถึงแม้ว่าเป็นการมอดูเลตแบบเดียวกันแต่ถ้าการกำหนดเงื่อนไขเบื้องต้นต่างกัน ค่า  $\alpha$  และ  $\beta$  ที่ได้ก็จะต่างกันด้วย ดังนั้นการใช้ค่า  $\alpha$  และ  $\beta$  เป็นตัวกำหนดรูปแบบการมอดูเลตจะมีความยืดหยุ่นเป็นอย่างมาก ในรูปแบบการมอดูเลตแบบเดียวกันสามารถกำหนด  $\alpha$  และ  $\beta$  เพื่อให้ได้รูปแบบของเอาท์พุท (constellation หรือ ตำแหน่งของกลุ่มบิตต่างๆ) เป็นไปตามที่ต้องการได้ ไม่จำกัดเพียงรูปแบบใดรูปแบบหนึ่งเหมือนวิธีการโดยทั่วไป ในที่นี้จะยกตัวอย่างค่า  $\alpha, \beta$  และคอนสแตลเลชันไดอะแกรมของ 8 PSK ส่วน  $\alpha, \beta$  และคอนสแตลเลชันไดอะแกรมของการมอดูเลตแบบอื่นดูได้จากบทแทรก



รูปที่ 2.6

เอกสารนี้เป็นเอกสารที่สงวนไว้สำหรับการใช้งานเพื่อการศึกษาเท่านั้น ไม่อนุญาตให้นำไปใช้ประโยชน์ด้านการค้า ไม่ว่าจะกรณีใดๆทั้งสิ้น อีกทั้งห้ามมิให้ดัดแปลงเนื้อหา และต้องอ้างอิงถึงเจ้าของเอกสารทุกครั้งที่มีการนำไปใช้

TWO-BIT STATE	$\alpha,$	$\beta,$
00	$\cos \theta$	$\sin \theta$
01	$-\cos \theta$	$\cos \theta$
10	$\sin \theta$	$-\sin \theta$
11	$-\sin \theta$	$-\cos \theta$

### 8 PSK

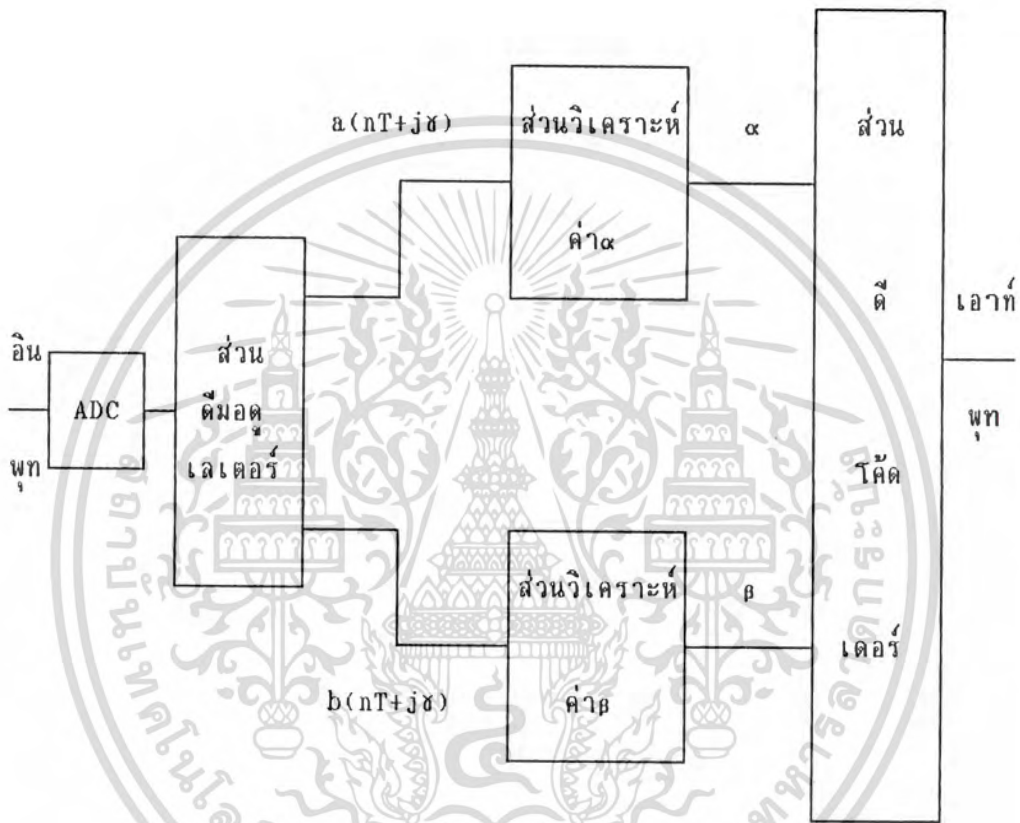
ตาราง 2.2

ปริมาณที่พบนับได้นำซอฟต์แวร์มาทำงานแทนอุปกรณ์ฮาร์ดแวร์ ซึ่งหลักการทำงานของซอฟต์แวร์เป็นไปตามแผนผังรูปที่ 2.7 จากแผนผังส่วนของซอฟต์แวร์จะเริ่มจากแหล่งกำเนิดสัญญาณสองสถานะจนถึงส่วนมอดูเลตแบบควอดเรตเจอร์ หลังจากนั้นสัญญาณที่ได้จะนำไปผ่านวงจรแปลงสัญญาณดิจิทัลเป็นอนาลอก (Digital to Analog Converter) และวงจรกรองความถี่ต่ำผ่าน (Low Pass Filter) การทำงานในส่วนของควอดเรตเจอร์จะใช้คลื่นพาห้ที่เป็นดิจิทัลมอดูเลตกับสัญญาณข่าวสารดิจิทัล การทำงานในลักษณะนี้จะ เป็นแบบนอนเรียลไทม์ (Non-real Time) ซึ่งข้อมูลต่างๆจะถูกนำไปเก็บไว้ในหน่วยความจำก่อนแล้วจึงนำมาผ่านการจัดการข้อมูลเพื่อส่งสัญญาณต่อไป



### 2.2.4 ส่วนประกอบทางด้านรับ

ทางด้านรับจะมีแผนผังส่วนประกอบต่างๆดังนี้



รูปที่ 2.8

ขั้นตอนการทำงานของด้านรับจะทำงานตรงข้ามกับด้านส่งดังนี้ สัญญาณที่เข้ามาทางด้านรับจะผ่านตัวแปลงสัญญาณอนาลอกเป็นดิจิทัล นำไปผ่านส่วนดีมอดูเลเตอร์ได้ค่า  $a(nT+jx)$  และ  $b(nT+jx)$  เพื่อนำไปวิเคราะห์หาค่า  $\alpha$  และ  $\beta$  จากนั้นจะผ่านส่วนดีค็อดเดอร์ได้สัญญาณข้อมูลดิจิทัลเหมือนกับทางด้านส่ง

เอกสารนี้เป็นเอกสารที่สงวนไว้สำหรับการใช้งานเพื่อการศึกษาเท่านั้น ไม่อนุญาตให้นำไปใช้ประโยชน์ด้านการค้า ไม่ว่าจะกรณีใดๆทั้งสิ้น อีกทั้งห้ามมิให้ดัดแปลงเนื้อหา และต้องอ้างอิงถึงเจ้าของเอกสารทุกครั้งที่มีการนำไปใช้

### 3. ผลการทดลองและการวิเคราะห์ผล

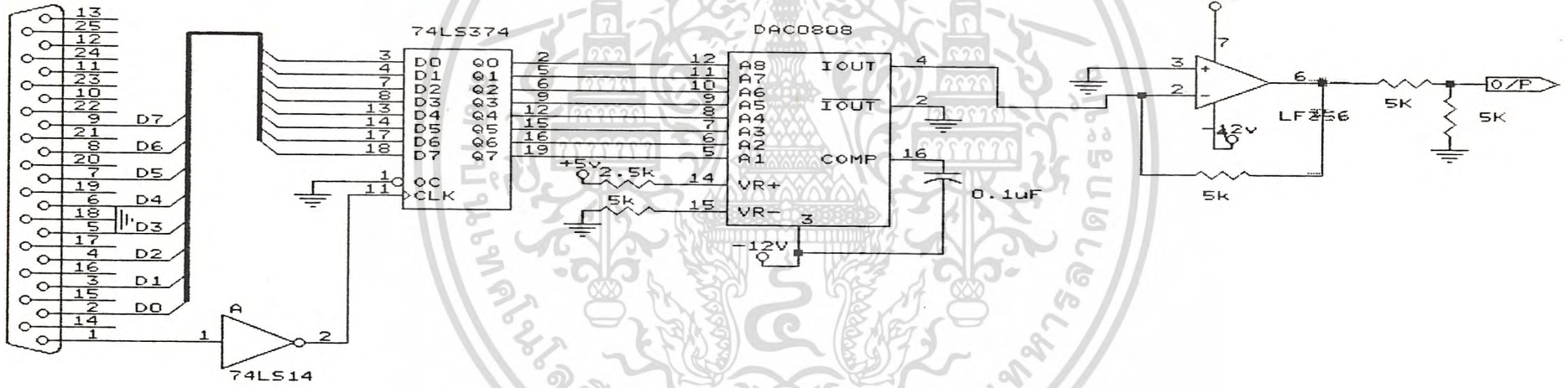
ในการทดลองได้ทำการส่งไฟล์สัญญาณผ่านวงจรดังรูป 3.1 โดยใช้โปรแกรม OUTPUT.C ซึ่งไฟล์สัญญาณที่จะส่งได้จากการมอดูเลตไฟล์ข้อมูลเข้ากับคลื่นพาห์ในโปรแกรม MODULATE.C สัญญาณที่ส่งไปในสายส่งสามารถแสดงได้ดังรูป 3.26-3.32 สัญญาณที่ส่งมาจะผ่านวงจรทางด้านรับดังรูป 3.2 ซึ่งสัญญาณที่รับได้จะนำไปเปรียบเทียบกับสัญญาณก่อนส่งแสดงในรูป 3.33 ซึ่งจะเห็นได้ว่าการเลื่อนทางเฟส (phase shift) และการลดขนาดของสัญญาณ ซึ่งอาจจะเกิดจากข้อจำกัดของอุปกรณ์ที่ใช้ในวงจร เช่น ไอซี ADC ที่ใช้มีความเร็วในการแปลงสัญญาณ (conversion time) น้อยกว่าของไอซี DAC, ออปแอมป์ที่ใช้รักษาระดับสัญญาณอ้างอิง ( $V_{REF}$ ) ของ ADC ไม่มีเสถียรภาพเท่าที่ควร และความไม่สอดคล้องของเวลาในการสุ่มสัญญาณระหว่างด้านส่งกับด้านรับ

สัญญาณที่รับได้จะนำมาดีมอดูเลตโดยโปรแกรม RING.C และนำมาเข้าโปรแกรมกรองความถี่ต่ำผ่าน (Low Pass Filter) จะได้สัญญาณ  $a(t)$  และ  $b(t)$  ซึ่งจะนำมาเปรียบเทียบกับสัญญาณ  $a(t)$  และ  $b(t)$  ก่อนที่จะส่งแสดงดังรูป 3.34 และ 3.35 ซึ่งจะเห็นได้ว่าสัญญาณที่ดีมอดูเลตได้มีสัญญาณรบกวน, มีความคลาดเคลื่อนทางเฟส และการลดขนาดของสัญญาณ อันเนื่องมาจากโปรแกรมดีมอดูเลตและกรองความถี่ต่ำผ่านยังไม่ดีพอ

หลังจากได้  $a(t)$  และ  $b(t)$  แล้วจะนำไปเข้าโปรแกรม DEMOD.C เพื่อทำการถอดรหัสสัญญาณให้ได้ข้อมูลตามที่ต้องการ

โดยในการทดลองนี้ได้แสดงตัวอย่างของการเปรียบเทียบสัญญาณที่มอดูเลตแบบ QPSK ซึ่งจากการทดลองแสดงให้เห็นว่าทุกผู้ที่ได้เสนอมานี้มีความเป็นไปได้ที่จะนำไปประยุกต์ใช้งานได้จริง

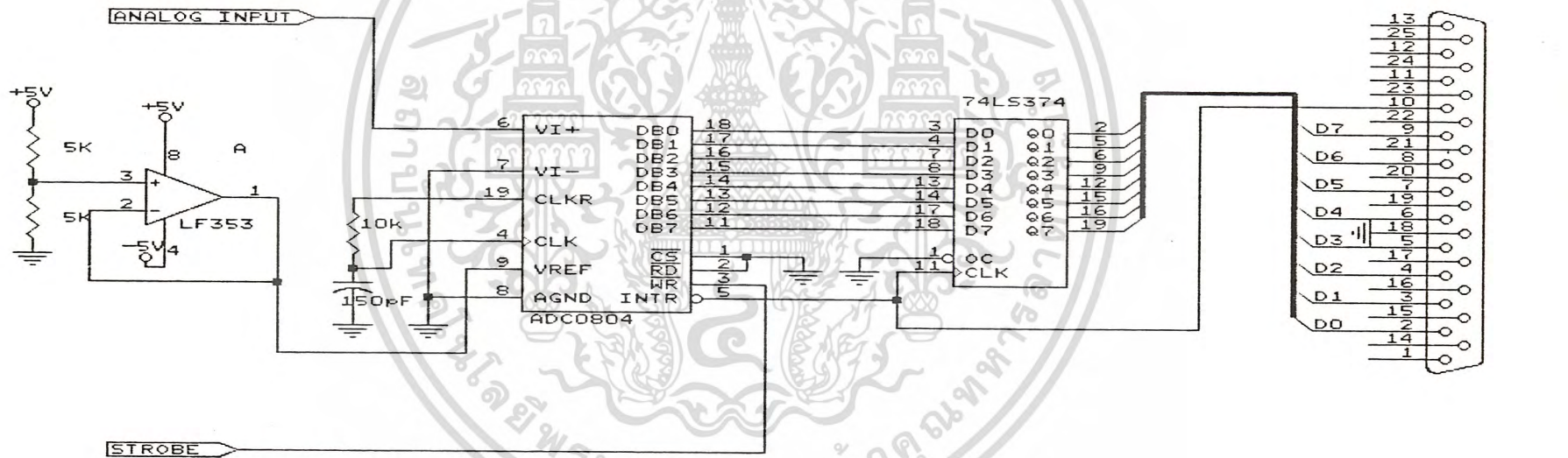
PRINTER PORT



DIGITAL TO ANALOG CONVERTOR CIRCUIT

รูปที่ 3.1

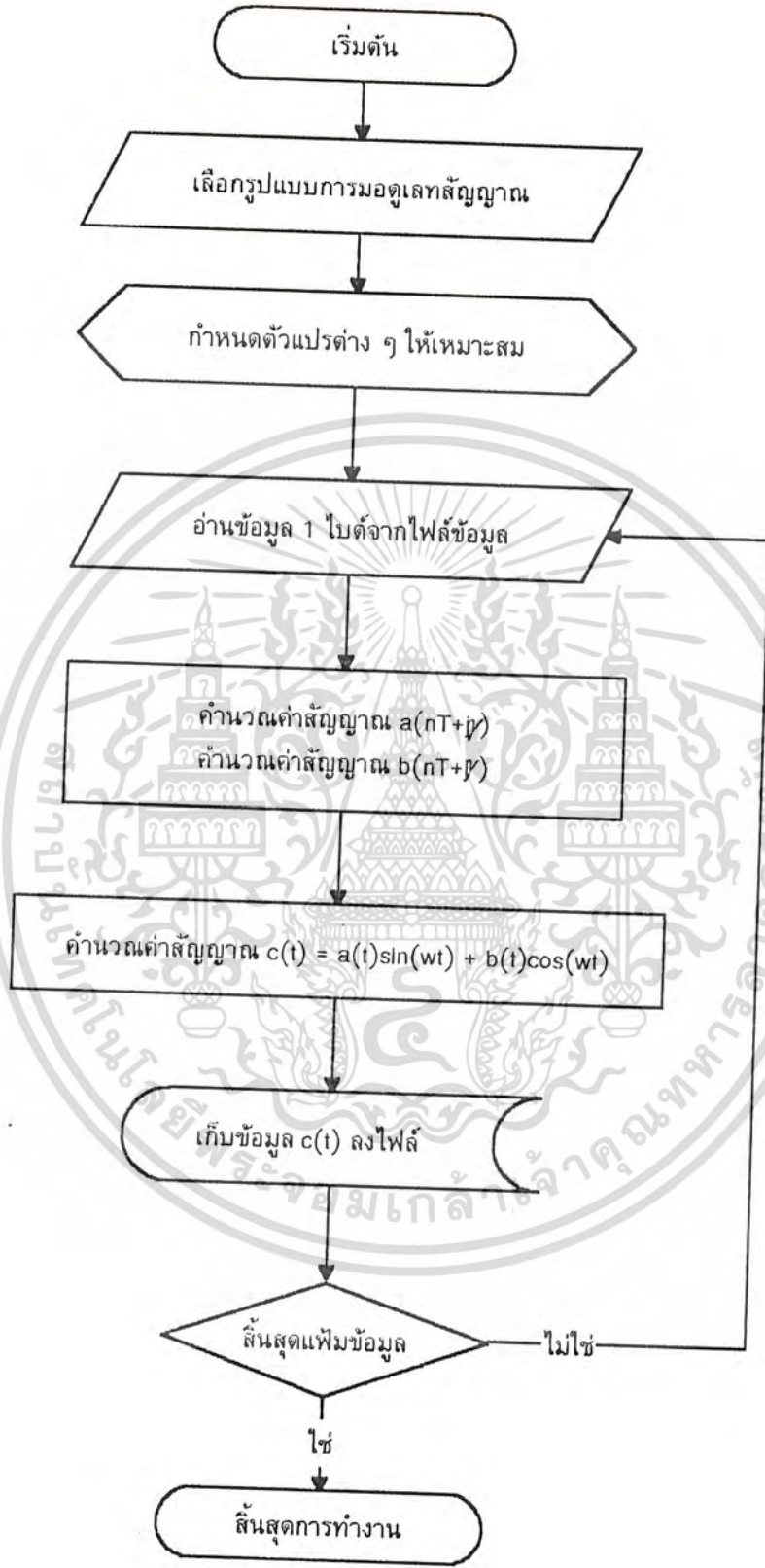
Size Document Number		REV
A		
Date:	March 21, 1994	Sheet of

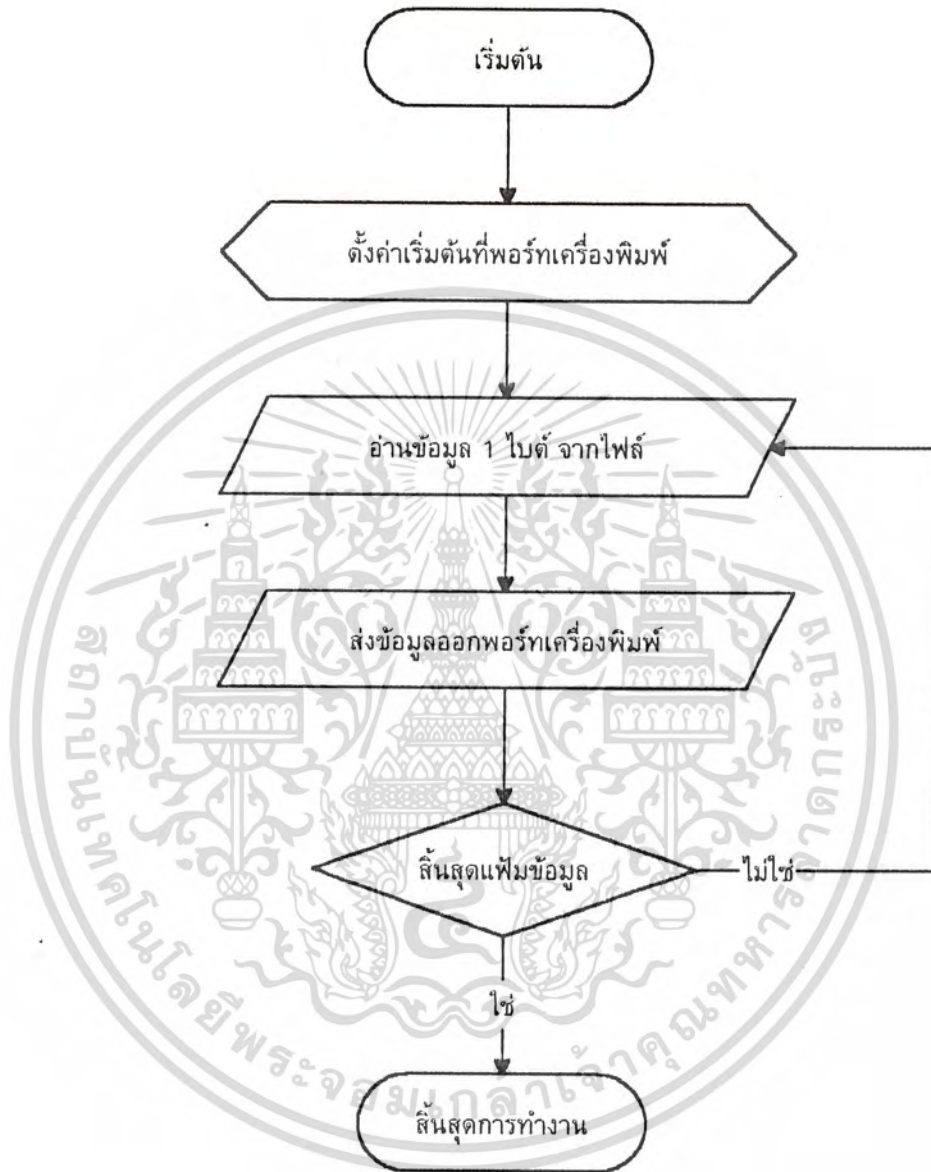


ANALOG TO DIGITAL CONVERTOR CIRCUIT

รูปที่ 3.2

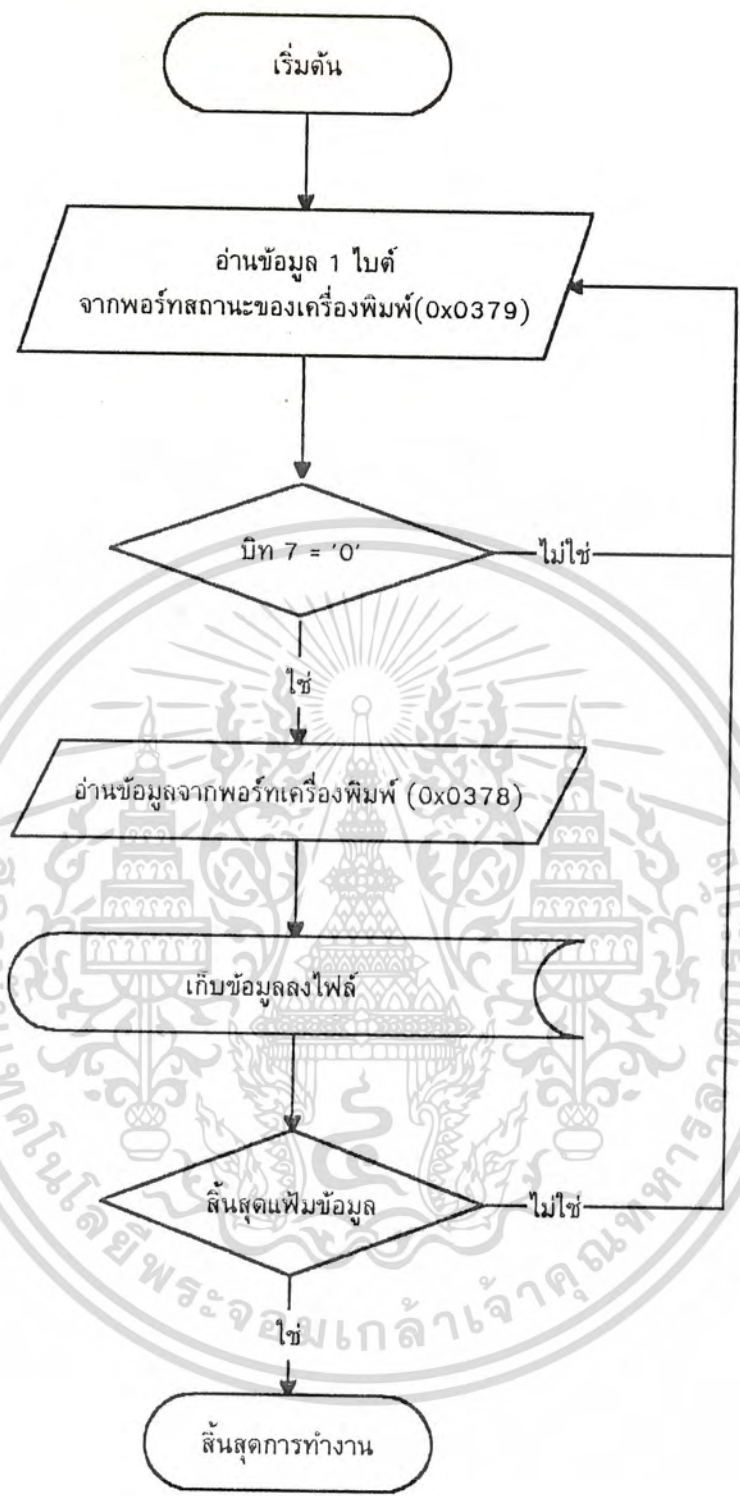
Size	Document Number	REV
A		
Date:	March 21, 1994	Sheet of





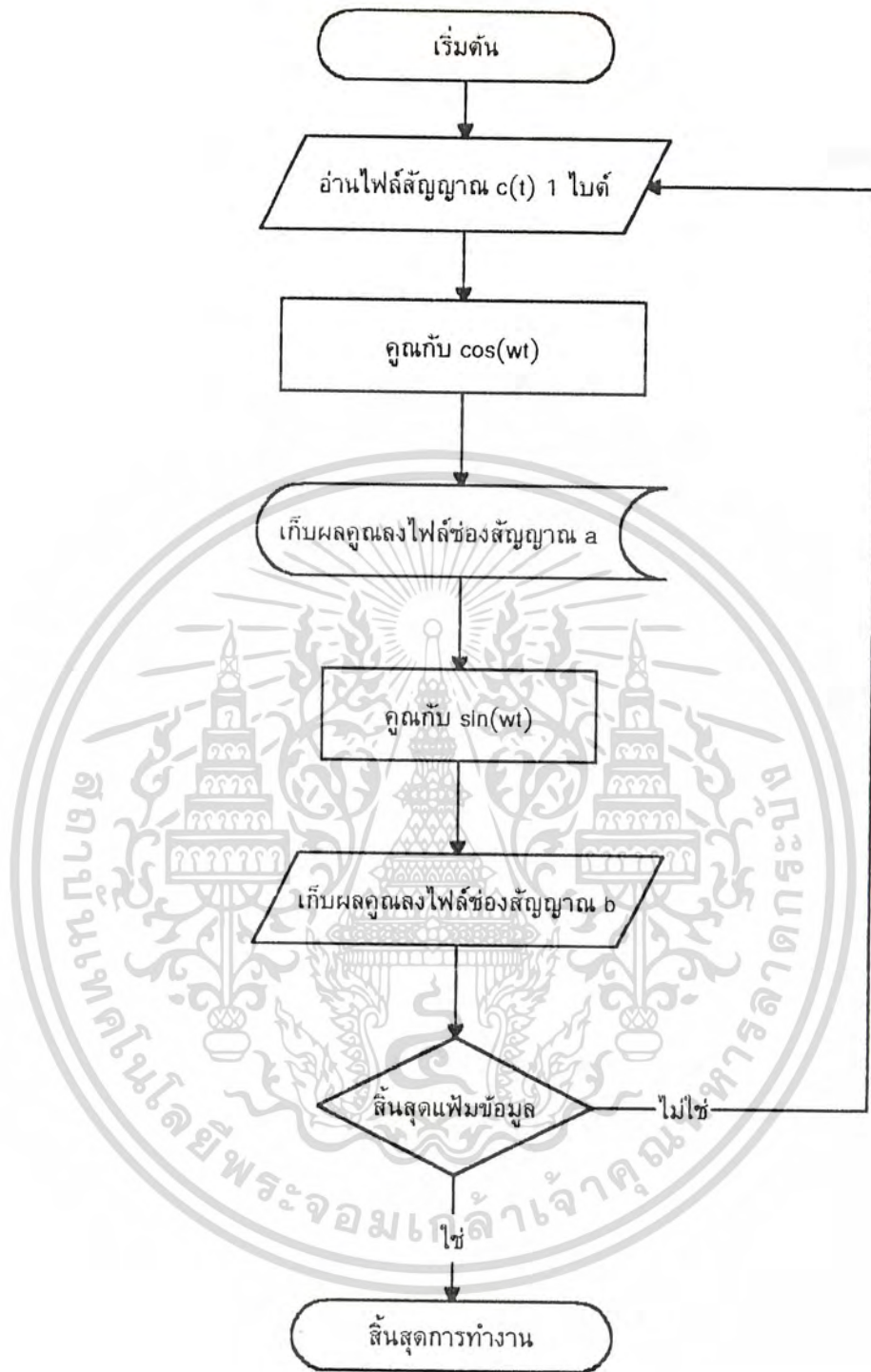
รูปที่ 3.4 แสดงการทำงานของโปรแกรม OUTPORT.C

เอกสารนี้เป็นเอกสารที่สงวนไว้สำหรับการใช้งานเพื่อการศึกษาเท่านั้น ไม่อนุญาตให้นำไปใช้ประโยชน์ด้านการค้า ไม่ว่ากรณีใดๆทั้งสิ้น อีกทั้งห้ามมิให้ดัดแปลงเนื้อหา และต้องอ้างอิงถึงเจ้าของเอกสารทุกครั้งที่มีการนำไปใช้



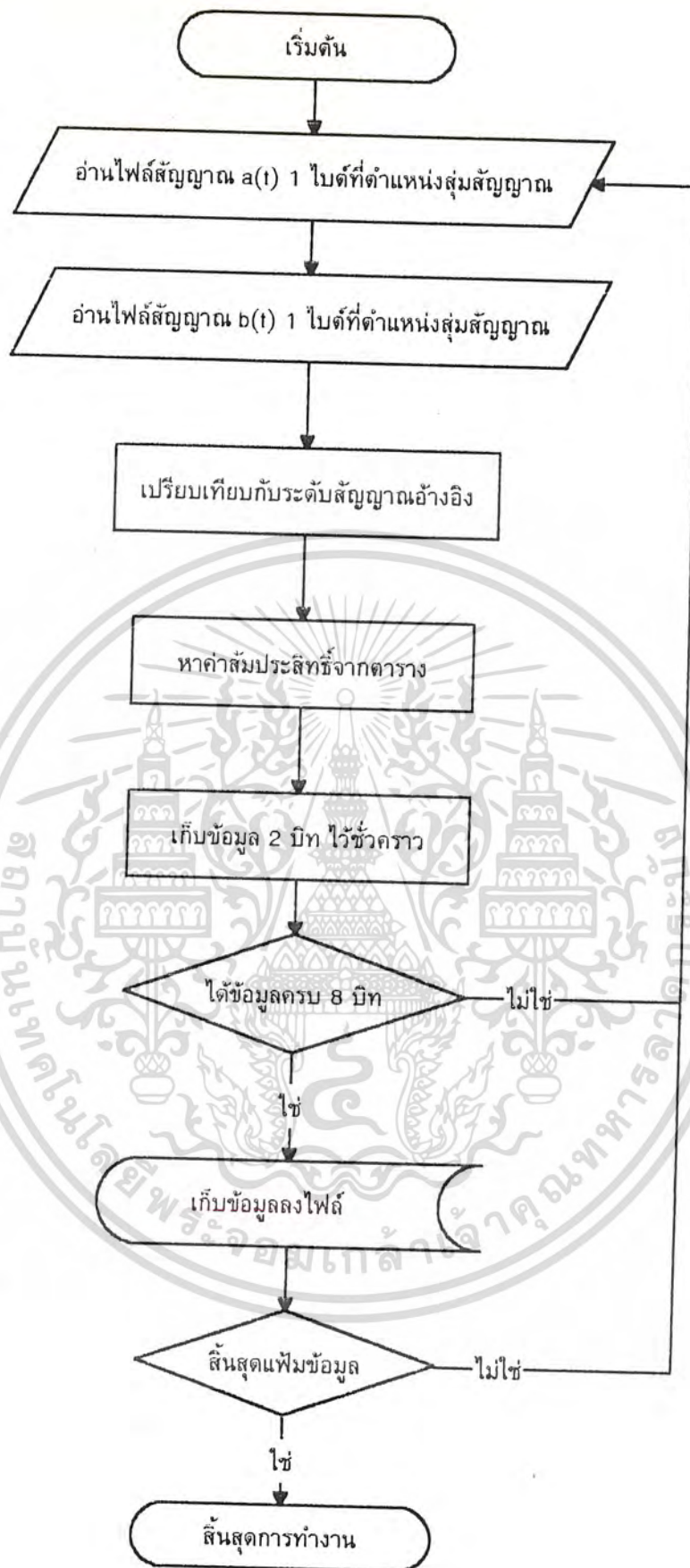
รูปที่ 3.5 แสดงการทำงานของโปรแกรม INPORT.C

เอกสารนี้เป็นเอกสารที่สงวนไว้สำหรับการใช้งานเพื่อการศึกษาเท่านั้น ไม่อนุญาตให้นำไปใช้ประโยชน์ด้านการค้า  
ไม่ว่ากรณีใดๆทั้งสิ้น อีกทั้งห้ามมิให้ดัดแปลงเนื้อหา และต้องอ้างอิงถึงเจ้าของเอกสารทุกครั้งที่มีการนำไปใช้



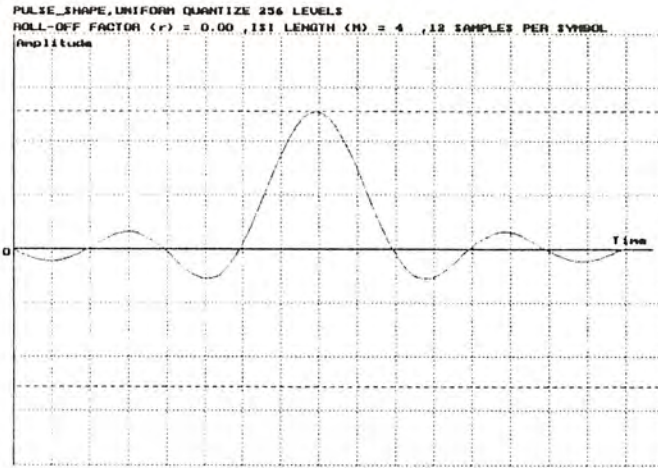
รูปที่ 3.6 การทำงานของโปรแกรม RING.C

เอกสารนี้เป็นเอกสารที่สงวนไว้สำหรับการใช้งานเพื่อการศึกษาเท่านั้น ไม่อนุญาตให้นำไปใช้ประโยชน์ด้านการค้า  
ไม่ว่ากรณีใดๆทั้งสิ้น อีกทั้งห้ามมิให้ดัดแปลงเนื้อหา และต้องอ้างอิงถึงเจ้าของเอกสารทุกครั้งที่มีการนำไปใช้

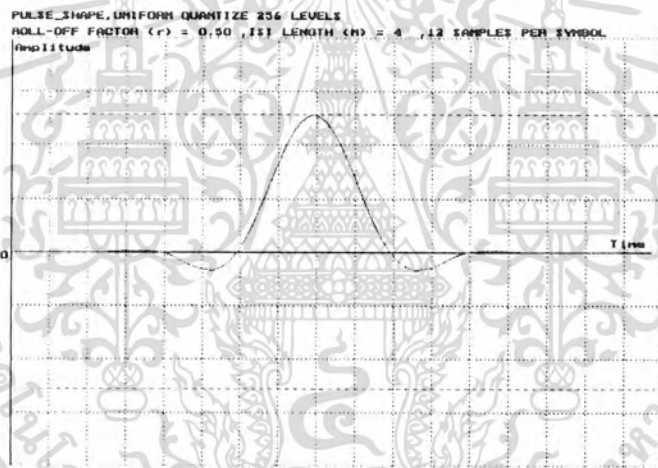


รูปที่ 3.7 การทำงานของโปรแกรม DEMOD.C

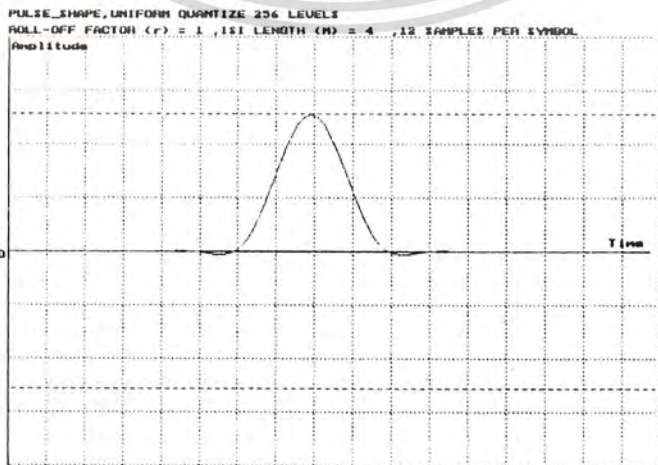
เอกสารนี้เป็นเอกสารที่สงวนไว้สำหรับการใช้งานเพื่อการศึกษาเท่านั้น ไม่อนุญาตให้นำไปใช้ประโยชน์ด้านการค้า ไม่ว่ากรณีใดๆทั้งสิ้น อีกทั้งห้ามมิให้ดัดแปลงเนื้อหา และต้องอ้างอิงถึงเจ้าของเอกสารทุกครั้งที่มีการนำไปใช้



รูปที่ 3.8

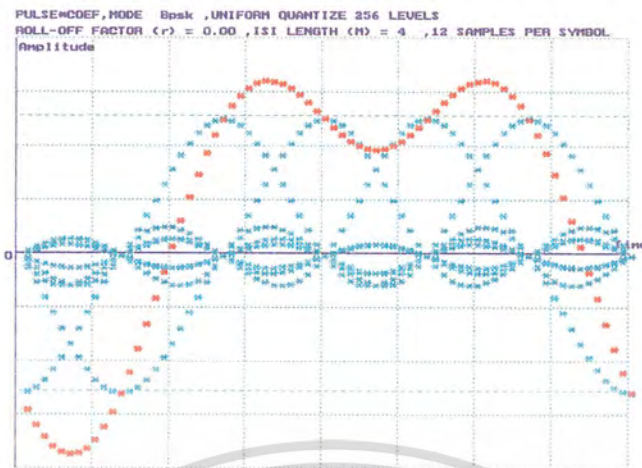


รูปที่ 3.9

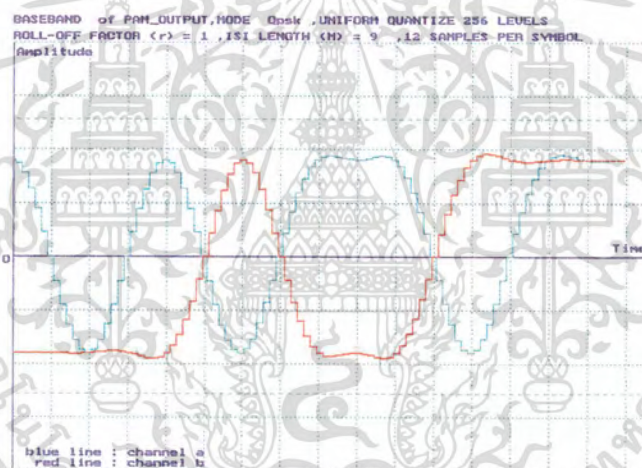


รูปที่ 3.10

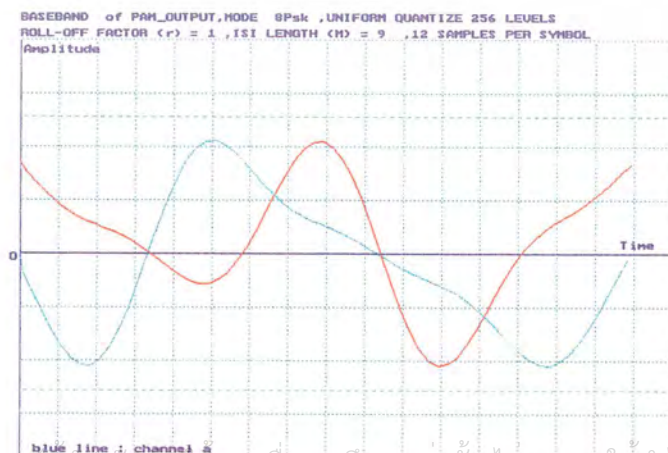
เอกสารนี้เป็นเอกสารที่สงวนไว้สำหรับการใช้งานเพื่อการศึกษาเท่านั้น ไม่อนุญาตให้นำไปใช้ประโยชน์ด้านการค้า  
 ไม่ว่าจะกรณีใดๆทั้งสิ้น อีกทั้งห้ามมิให้ดัดแปลงเนื้อหา และต้องอ้างอิงถึงเจ้าของเอกสารทุกครั้งที่มีการนำไปใช้



รูปที่ 3.11

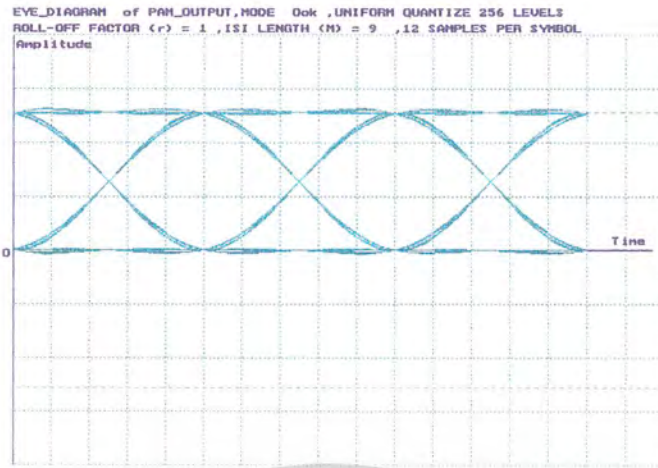


รูปที่ 3.12

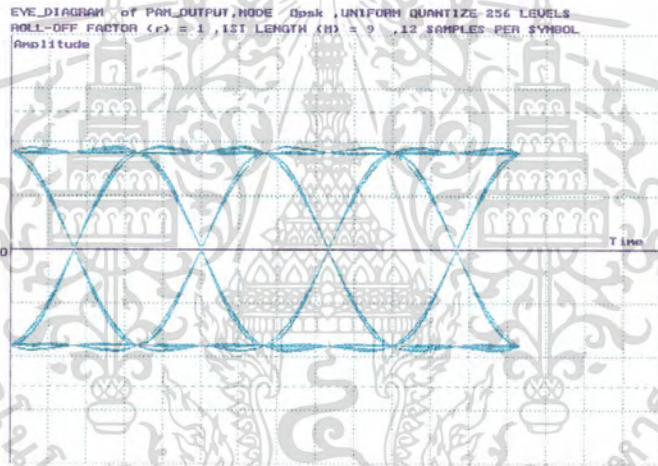


รูปที่ 3.13

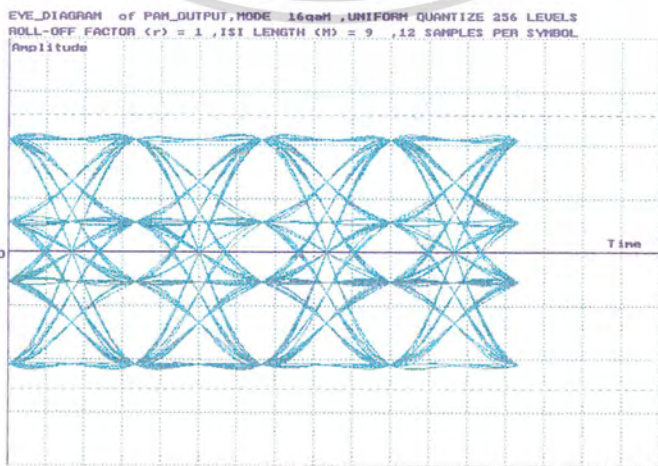
เอกสารนี้เป็นเอกสารที่สงวนลิขสิทธิ์ภายใต้การใช้งานเพื่อการศึกษาเท่านั้น ไม่อนุญาตให้นำไปใช้ประโยชน์ด้านการค้า  
 ไม่ว่ากรณีใดๆทั้งสิ้น อีกทั้งห้ามมิให้ดัดแปลงเนื้อหา และต้องอ้างอิงถึงเจ้าของเอกสารทุกครั้งที่มีการนำไปใช้



รูปที่ 3.14

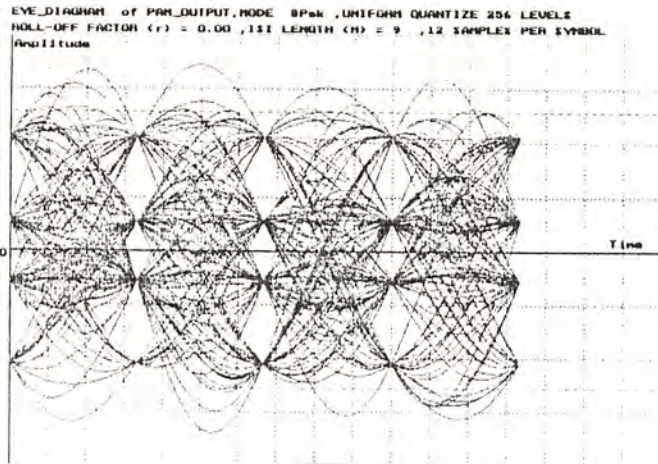


รูปที่ 3.15

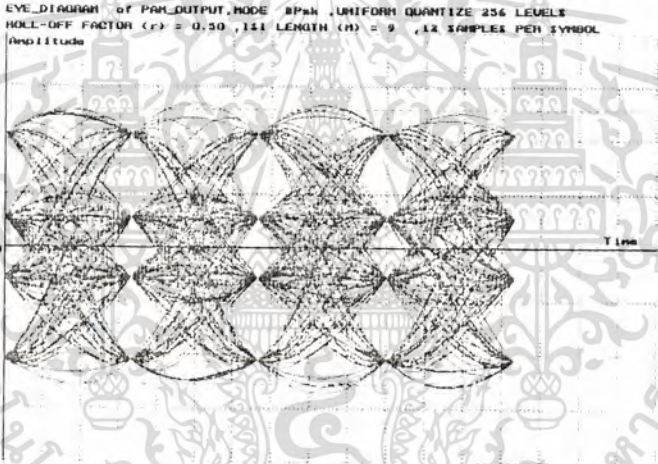


รูปที่ 3.16

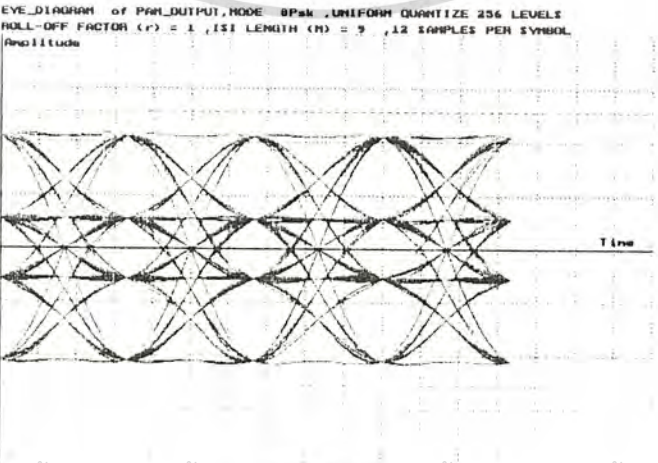
เอกสารนี้เป็นเอกสารที่สงวนไว้สำหรับการใช้งานเพื่อการศึกษาเท่านั้น ไม่นิยมนำไปใช้ประโยชน์ด้านการค้า  
 ไม่ว่ากรณีใดๆทั้งสิ้น อีกทั้งห้ามมิให้ดัดแปลงเนื้อหา และต้องอ้างอิงถึงเจ้าของเอกสารทุกครั้งที่มีการนำไปใช้



รูปที่ 3.17

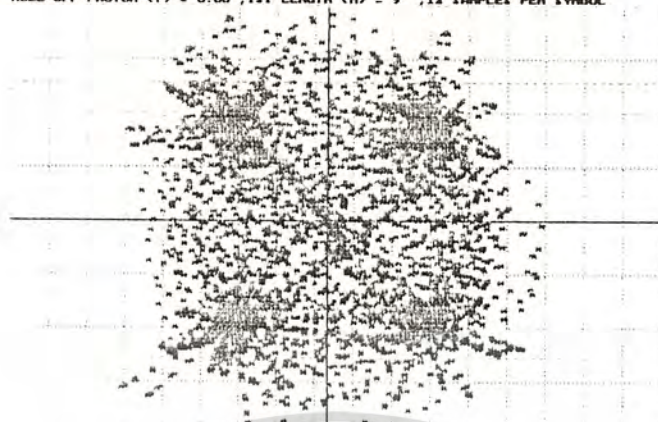


รูปที่ 3.18



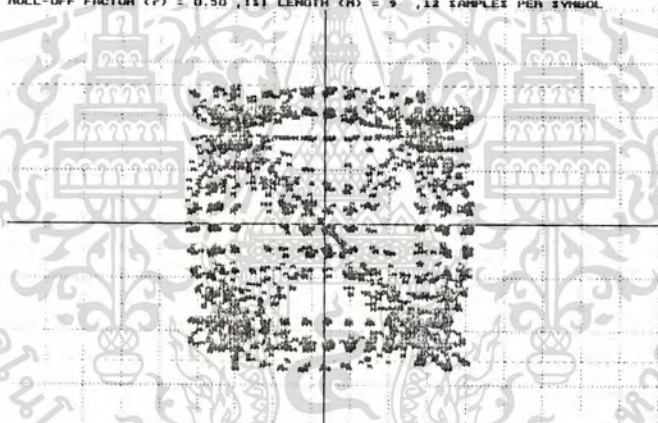
เอกสารนี้เป็นเอกสารที่สงวนไว้สำหรับการใช้งานที่รูปที่ 3.19 เท่านั้น ไม่นุญาตให้นำไปใช้ประโยชน์ด้านการค้า  
 ไม่ว่ากรณีใดๆทั้งสิ้น อีกทั้งห้ามมิให้ดัดแปลงเนื้อหา และต้องอ้างอิงถึงเจ้าของเอกสารทุกครั้งที่มีการนำไปใช้

CONSTELLATION of PAM\_OUTPUT.MODE Q<sub>max</sub> UNIFORM QUANTIZE 256 LEVELS  
ROLL-OFF FACTOR (r) = 0.00 , ISI LENGTH (M) = 9 , 12 SAMPLES PER SYMBOL



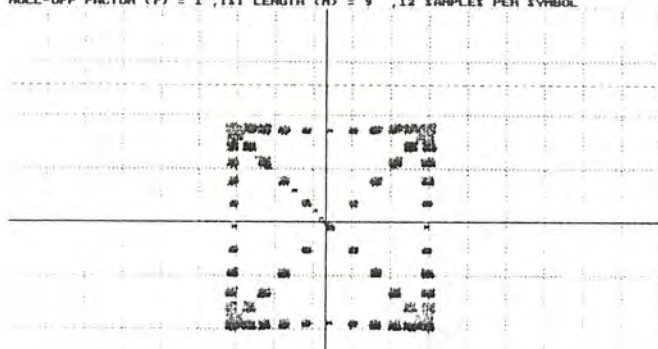
รูปที่ 3.20

CONSTELLATION of PAM\_OUTPUT.MODE Q<sub>max</sub> UNIFORM QUANTIZE 256 LEVELS  
ROLL-OFF FACTOR (r) = 0.50 , ISI LENGTH (M) = 9 , 12 SAMPLES PER SYMBOL



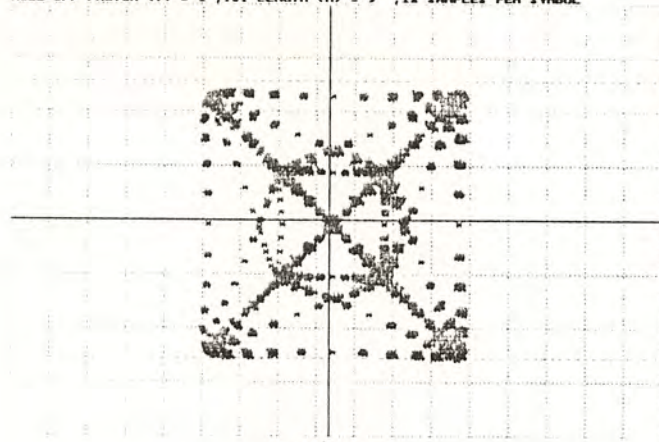
รูปที่ 3.21

CONSTELLATION of PAM\_OUTPUT.MODE Q<sub>max</sub> UNIFORM QUANTIZE 256 LEVELS  
ROLL-OFF FACTOR (r) = 1 , ISI LENGTH (M) = 9 , 12 SAMPLES PER SYMBOL



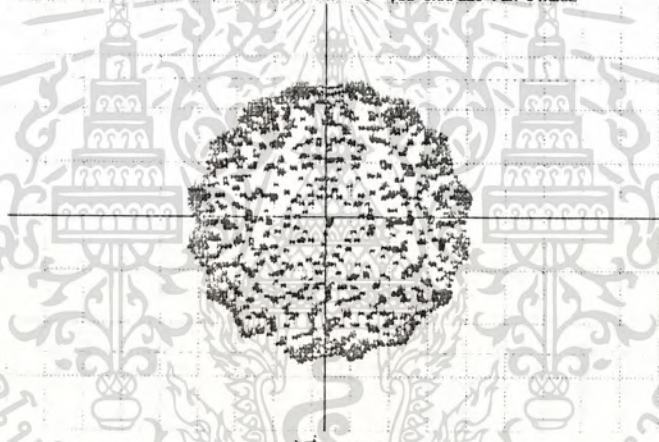
เอกสารนี้เป็นเอกสารที่สงวนไว้สำหรับการใช้งานเพื่อการศึกษาเท่านั้น ไม่นอนุญาตให้นำไปใช้ประโยชน์ด้านการค้า  
ไม่ว่ากรณีใดๆทั้งสิ้น อีกทั้งห้ามมิให้ดัดแปลงเนื้อรูปที่ 3.22 ของอ้างอิงถึงเจ้าของเอกสารทุกครั้งที่มีการนำไปใช้

CONSTELLATION of PAM\_OUTPUT,MODE 8Qam ,UNIFORM QUANTIZE 256 LEVELS  
ROLL-OFF FACTOR (r) = 1 ,ISI LENGTH (M) = 9 ,12 SAMPLES PER SYMBOL



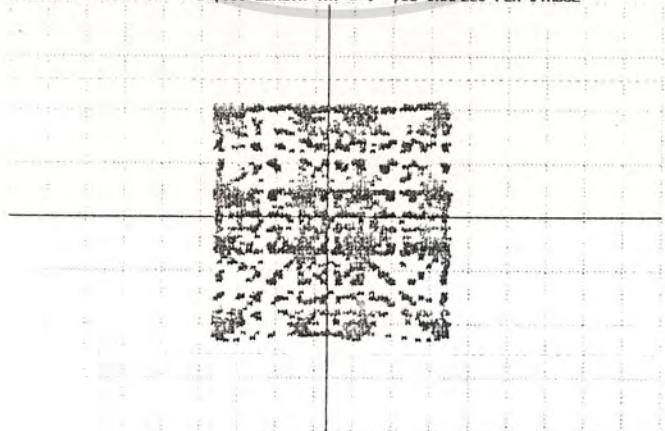
รูปที่ 3.23

CONSTELLATION of PAM\_OUTPUT,MODE 16Qsk ,UNIFORM QUANTIZE 256 LEVELS  
ROLL-OFF FACTOR (r) = 1 ,ISI LENGTH (M) = 9 ,12 SAMPLES PER SYMBOL



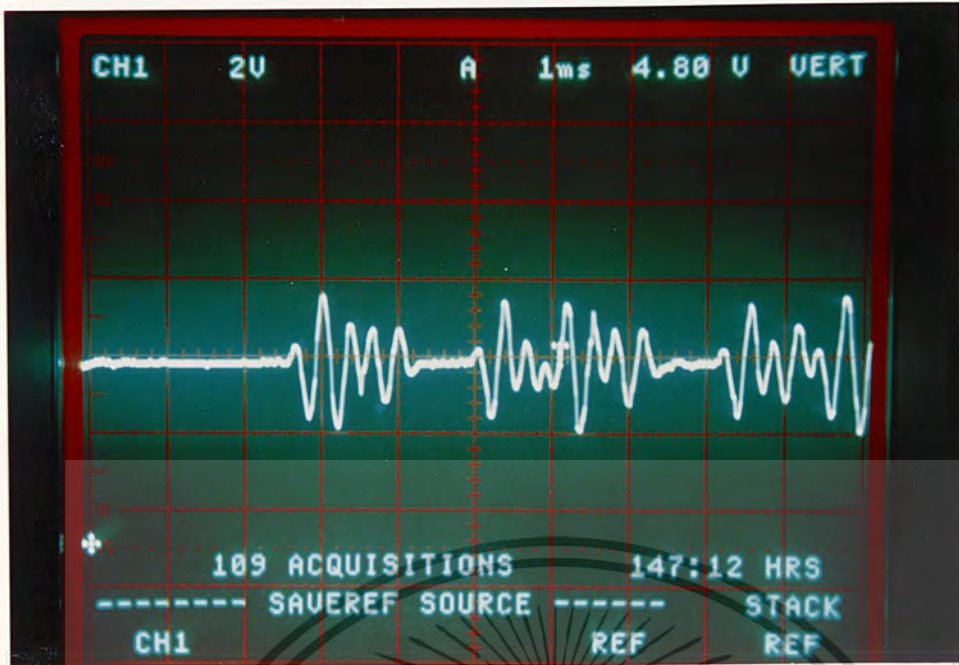
รูปที่ 3.24

CONSTELLATION of PAM\_OUTPUT,MODE 16Qam ,UNIFORM QUANTIZE 256 LEVELS  
ROLL-OFF FACTOR (r) = 1 ,ISI LENGTH (M) = 9 ,12 SAMPLES PER SYMBOL

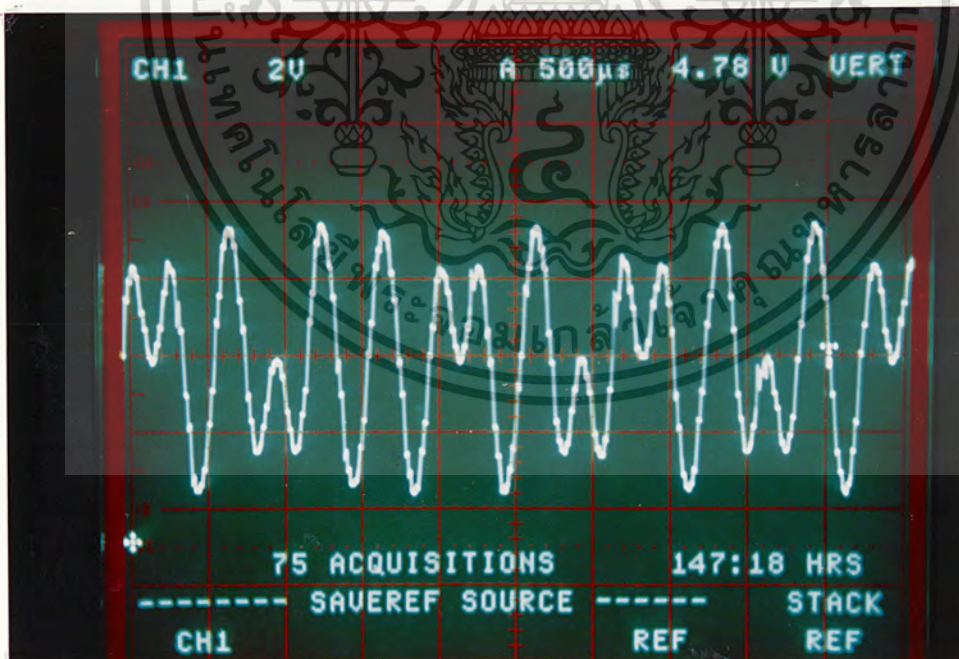


รูปที่ 3.25

เอกสารนี้เป็นเอกสารที่สงวนไว้สำหรับการใช้งานเพื่อการศึกษาเท่านั้น ไม่นุญาตให้นำไปใช้ประโยชน์ด้านการค้า  
ไม่ว่ากรณีใดๆทั้งสิ้น อีกทั้งห้ามมิให้ดัดแปลงเนื้อหา และต้องอ้างอิงถึงเจ้าของเอกสารทุกครั้งที่มีการนำไปใช้

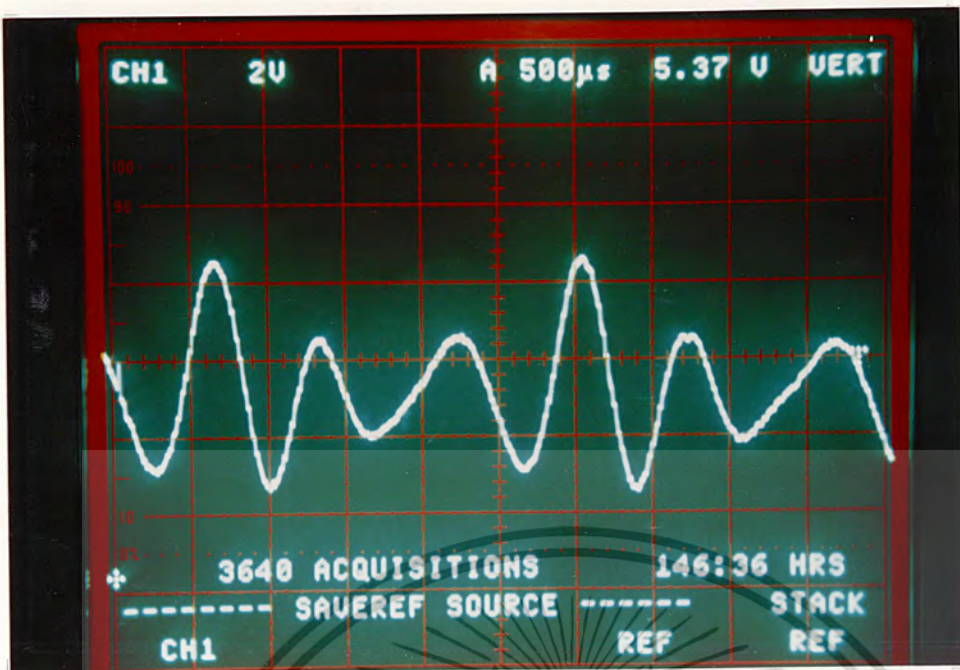


รูปที่ 3.26 แสดงรูปสัญญาณ  $c(t)$  แบบ OOK

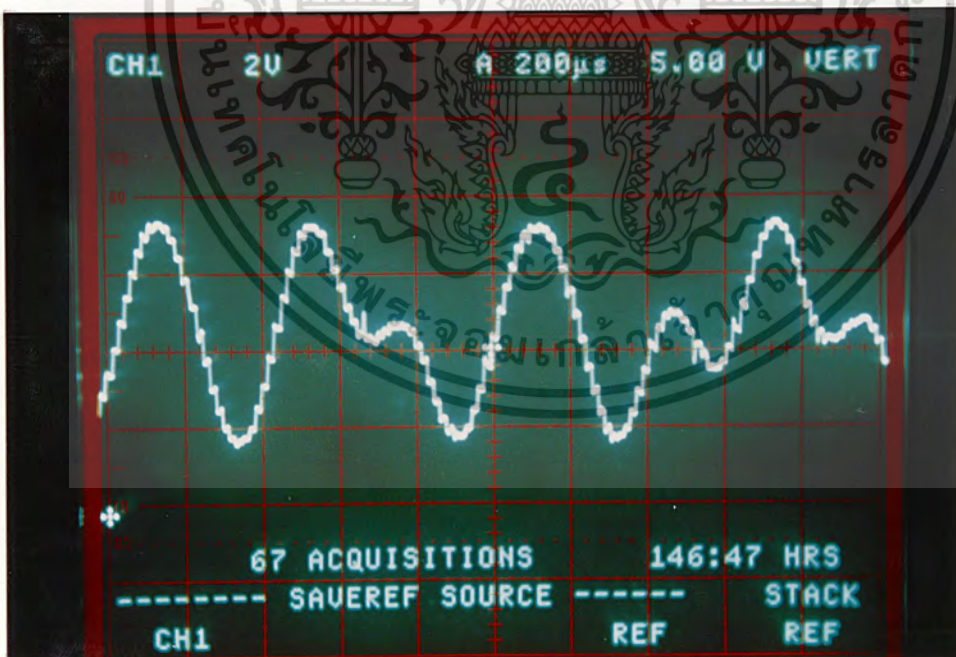


รูปที่ 3.27 แสดงรูปสัญญาณ  $c(t)$  แบบ BPSK

เอกสารนี้เป็นเอกสารที่สงวนไว้สำหรับการใช้งานเพื่อการศึกษาเท่านั้น ไม่อนุญาตให้นำไปใช้ประโยชน์ด้านการค้า  
 ไม่ว่ากรณีใดๆทั้งสิ้น อีกทั้งห้ามมิให้ดัดแปลงเนื้อหา และต้องอ้างอิงถึงเจ้าของเอกสารทุกครั้งที่มีการนำไปใช้

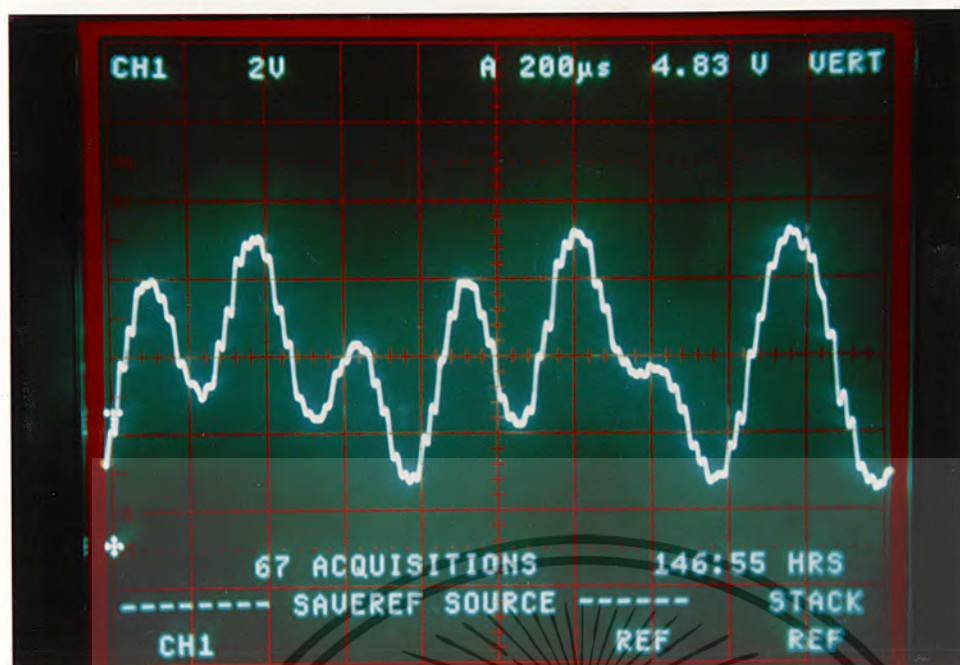


รูปที่ 3.28 แสดงรูปสัญญาณ  $c(t)$  แบบ QPSK

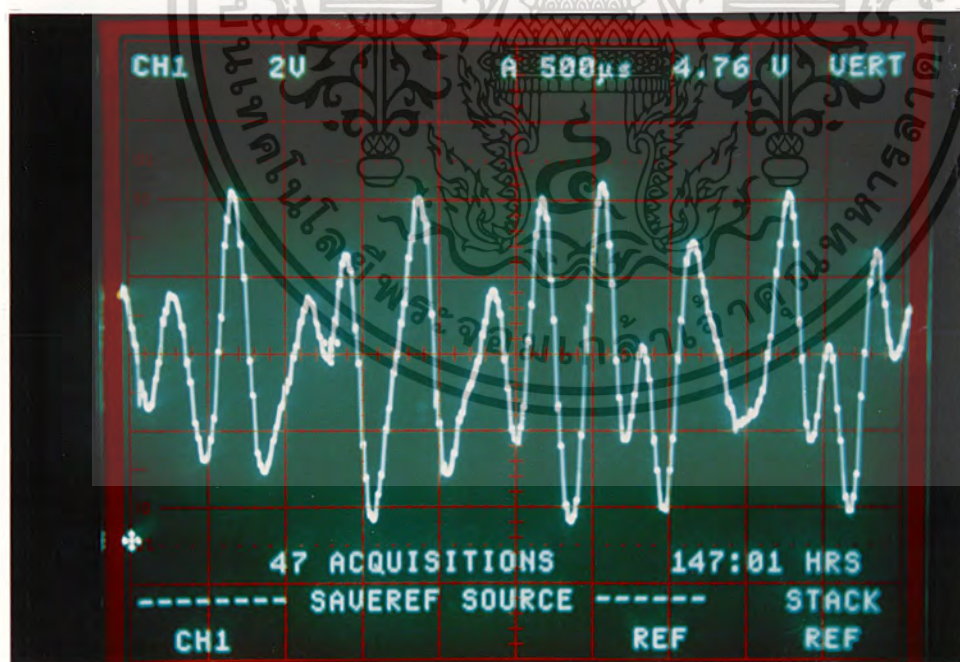


รูปที่ 3.29 แสดงรูปสัญญาณ  $c(t)$  แบบ 8PSK

เอกสารนี้เป็นเอกสารที่สงวนไว้สำหรับการใช้งานเพื่อการศึกษาเท่านั้น ไม่อนุญาตให้นำไปใช้ประโยชน์ด้านการค้า  
ไม่ว่ากรณีใดๆทั้งสิ้น อีกทั้งห้ามมิให้ดัดแปลงเนื้อหา และต้องอ้างอิงถึงเจ้าของเอกสารทุกครั้งที่มีการนำไปใช้

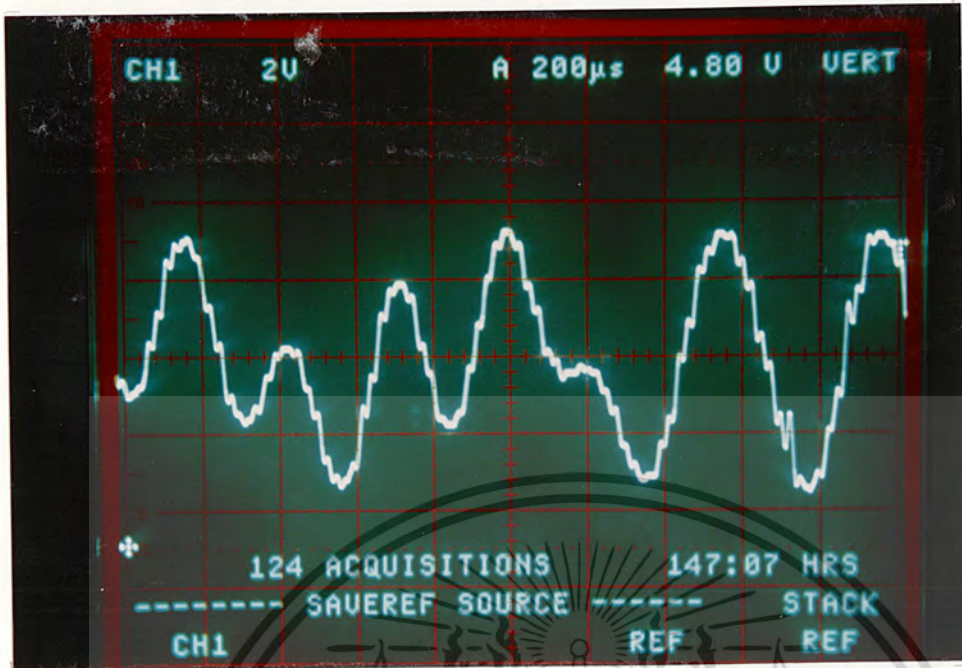


รูปที่ 3.30 แสดงรูปสัญญาณ  $c(t)$  แบบ 16PSK



รูปที่ 3.31 แสดงรูปสัญญาณ  $c(t)$  แบบ 8QAM

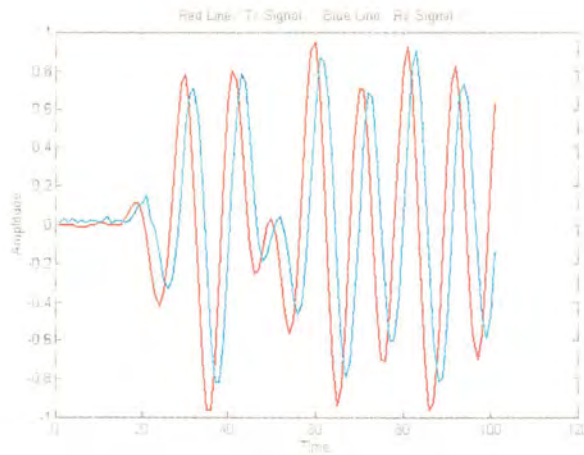
เอกสารนี้เป็นเอกสารที่สงวนไว้สำหรับการใช้งานเพื่อการศึกษาเท่านั้น ไม่อนุญาตให้นำไปใช้ประโยชน์ด้านการค้า  
ไม่ว่ากรณีใดๆทั้งสิ้น อีกทั้งห้ามมิให้ดัดแปลงเนื้อหา และต้องอ้างอิงถึงเจ้าของเอกสารทุกครั้งที่มีการนำไปใช้



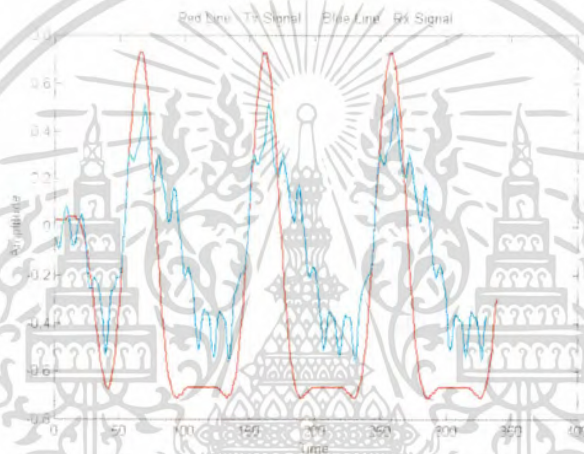
รูปที่ 3.32 แสดงรูปสัญญาณ  $c(t)$  แบบ 16QAM



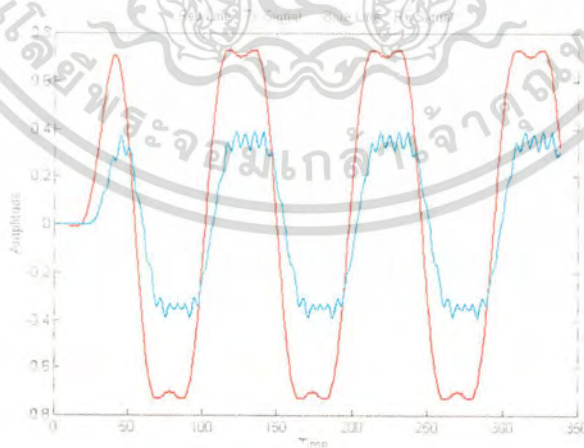
เอกสารนี้เป็นเอกสารที่สงวนไว้สำหรับการใช้งานเพื่อการศึกษาเท่านั้น ไม่อนุญาตให้นำไปใช้ประโยชน์ด้านการค้า  
 ไม่ว่ากรณีใดๆทั้งสิ้น อีกทั้งห้ามมิให้ดัดแปลงเนื้อหา และต้องอ้างอิงถึงเจ้าของเอกสารทุกครั้งที่มีการนำไปใช้



รูปที่ 3.33 เปรียบเทียบสัญญาณ  $e(t)$



รูปที่ 3.34 เปรียบเทียบสัญญาณ  $e(t)$



รูปที่ 3.35 เปรียบเทียบสัญญาณ  $e(t)$

เอกสารนี้เป็นเอกสารที่สงวนไว้สำหรับการใช้งานเพื่อการศึกษาเท่านั้น ไม่อนุญาตให้นำไปใช้ประโยชน์ด้านการค้า ไม่ว่าจะกรณีใดๆทั้งสิ้น อีกทั้งห้ามมิให้ดัดแปลงเนื้อหา และต้องอ้างอิงถึงเจ้าของเอกสารทุกครั้งที่มีการนำไปใช้

#### 4. สรุป

การมอดูเลตสัญญาณดิจิทัลแอนกประสงค์โดยใช้ซอฟต์แวร์ทำงานนั้น จะทำให้มีความยืดหยุ่นในการใช้งานได้ดี เนื่องจากสามารถขยายการใช้งานได้ง่ายกว่าอุปกรณ์ทางฮาร์ดแวร์ โดยเพิ่มโปรแกรมการทำงานตามที่ต้องการได้ นอกจากนี้ยังไม่ต้องสิ้นเปลืองค่าใช้จ่ายในการบำรุงรักษาอุปกรณ์อีกด้วย

จากผลการทดลอง ซอฟต์แวร์ที่สร้างขึ้นสามารถทำงานตามที่ต้องการคือ การส่งสัญญาณที่มอดูเลตแล้วในรูปแบบต่างๆ (สัญญาณดิจิทัล) ออกมาผ่านวงจรแปลงสัญญาณดิจิทัลเป็นอนาล็อก สัญญาณอนาล็อกที่ได้ออกมาจะผ่านวงจรกรองความถี่ต่ำผ่าน ได้สัญญาณเอากัฟตามที่ต้องการ และทางด้านรับนำสัญญาณไปผ่านวงจรแปลงสัญญาณอนาลอกเป็นดิจิทัลได้ สัญญาณดิจิทัลไปผ่านการดีโค้ดเดอร์ เพื่อวิเคราะห์สัญญาณข้อมูลออกมา

#### 5. แนวทางการพัฒนา

จากผลการทดลองจะเห็นว่าสามารถทำงานให้ผลตรงตามหลักการที่ได้ เสนอไว้ข้างต้น ดังนั้นเราสามารถนำไปประยุกต์ใช้งานด้านอื่นๆ อาทิเช่น

นำไปใช้งานด้านสื่อสารข้อมูลด้วยเครื่องคอมพิวเตอร์ โดยการเชื่อมโยงเข้ากับโครงข่ายโทรศัพท์ ซึ่งจะช่วยให้ผู้ใช้ตัวมอดูเลตสัญญาณดิจิทัลแอนกประสงค์สามารถสื่อสารข้อมูลกับเครื่องคอมพิวเตอร์ในระบบที่ใช้รูปแบบการมอดูเลตแบบอื่นได้ หรือ นำไปใช้ในการสื่อสารข้อมูลแบบไร้สายซึ่งจะต้องออกแบบเครื่องส่งและเครื่องรับสัญญาณวิทยุให้เหมาะสมกับการใช้งาน

## 6. บทแทรก

### 6.1 เจอนไซการมอดูเลตแบบต่างๆ

#### 6.1.1 ฟรีแควนซีชิฟคีย์ (Frequency Shift Keying (FSK))

ฟรีแควนซีชิฟคีย์เป็นรูปแบบของการมอดูเลตเชิงมุมที่มีเอนเวลอปคงที่ (constant-envelope) ซึ่งคล้ายกับการมอดูเลตความถี่ (Frequency Modulation (FM)) ต่างกันตรงที่สัญญาณที่นำไปมอดูเลตเป็นไบนารีพัลส์สตรีม (binary pulse stream) ซึ่งเป็นค่าระหว่างดิสครีทโวลเตจ (discrete voltage) 2 ระดับ ที่มีการเปลี่ยนแปลงของรูปคลื่น (wave form) ค่อนข้างจะต่อเนื่อง

สำหรับฟรีแควนซีชิฟคีย์แบบไบนารี (Binary Frequency Shift Keying (BFSK)) สัญญาณทางด้านอินพุตที่ป้อนเข้ามาจะถูกนำไปวิเคราะห์ และทำตามเงื่อนไขที่กำหนด และนำสัญญาณที่ได้ไปเข้าควอดเรเจอร์มอดูเลเตอร์ (Quadrature modulator) จะได้สัญญาณเอาท์พุตที่เป็นไปได้ 2 ค่า การวิเคราะห์สัญญาณและเงื่อนไขตามตารางที่ 6.1

ตาราง 6.1

ภาวะลอจิกของอินพุต	$a(t)$	$b(t)$
0	$\cos(\Delta\omega t)$	$\sin(\Delta\omega t)$
1	$\cos(\Delta\omega t)$	$-\sin(\Delta\omega t)$

#### 6.1.2 ไบนารีเฟสชิฟคีย์ (Binary Phase Shift Keying (BPSK))

สัญญาณเอาท์พุตที่มีเฟสที่เป็นไปได้ 2 ค่า ซึ่งเฟสค่าหนึ่งแทนลอจิก 0 เฟสอีกค่าหนึ่งแทนลอจิก 1 โดยทางด้านอินพุตจะวิเคราะห์สัญญาณทีละบิต เมื่อสัญญาณดิจิทัลทางด้านอินพุตเปลี่ยนไป ทำให้เฟสเอาท์พุตเปลี่ยนไประหว่างเฟส 2 เฟสที่ต่างกัน  $180^\circ$  การวิเคราะห์สัญญาณและเงื่อนไขเป็นไปตามตาราง 6.2

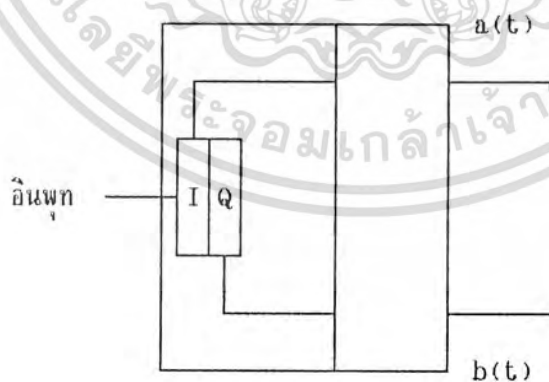
ตาราง 6.2

ภาวะลอจิกของอินพุท	a(t)	b(t)
0	-1 v	0
1	+1 v	0

### 6.1.3 ควอเตอ์นารีเฟสชิฟต์คีย์ (Quaternary Phase Shift Keying (QPSK))

ควอเตอ์นารีเฟสชิฟต์คีย์เป็นการเข้ารหัส M-ary เมื่อ  $M = 4$  แสดงว่ามีอินพุทบิต 2 บิต ข้อมูลอินพุทได้จากการรวมกลุ่มของบิต 2 บิต เรียกว่า ไดบิต (dibits) ดังนั้นทางด้านอินพุทจะวิเคราะห์สัญญาณทีละ 2 บิต จะได้เอาท์พุท 4 ค่าที่มีเฟสต่างกัน แต่มีขนาดเท่ากัน ในแต่ละครั้งของการเปลี่ยนแปลงไดบิตอินพุทจะทำให้เกิดการเปลี่ยนแปลงเฟสทางด้านเอาท์พุท การวิเคราะห์สัญญาณและเงื่อนไขเป็นดังนี้

วงจรวิเคราะห์และปฏิบัติตามเงื่อนไข



รูปที่ 6.1

เอกสารนี้เป็นเอกสารที่สงวนไว้สำหรับการใช้งานเพื่อการศึกษาเท่านั้น ไม่อนุญาตให้นำไปใช้ประโยชน์ด้านการค้า  
ไม่ว่ากรณีใดๆทั้งสิ้น อีกทั้งห้ามมิให้ดัดแปลงเนื้อหา และต้องอ้างอิงถึงเจ้าของเอกสารทุกครั้งที่มีการนำไปใช้

ตาราง 6.3

ภาวะลอจิกของบิต I	a(t)	ภาวะลอจิกของบิต Q	b(t)
0	-1 v	0	-1 v
1	+1 v	1	+1 v

จากตารางเห็นได้ว่า ภาวะลอจิกของบิต I และ Q จะเป็นตัวกำหนดค่า a(t) และ b(t) ตามลำดับ

#### 6.1.4 8 เฟสชิฟต์คีย์ (8 Phase Shift Keying (8PSK))

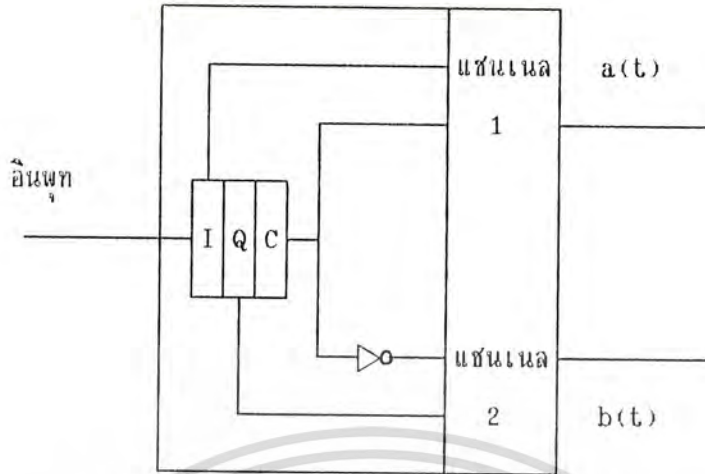
8 เฟสชิฟต์คีย์เป็นการเข้ารหัส M-ary เมื่อ  $M = 8$  แสดงว่ามีบิตอินพุต 3 บิต ข้อมูลอินพุตเป็นการรวมกลุ่มของบิตสามบิตเรียกไตรบิต (tribits) ดังนั้นทางด้านอินพุตจะทำการวิเคราะห์สัญญาณทีละ 3 บิต จะได้เอาท์พุต 8 ค่าที่มีเฟสต่างกันแต่มีขนาดเท่ากัน ในแต่ละครั้งของการเปลี่ยนแปลงไตรบิตจะทำให้เกิดการเปลี่ยนแปลงเฟสทางด้านเอาท์พุต

จากรูปที่ 6.2 เห็นได้ว่าสัญญาณไตรบิตที่รับเข้ามาจะถูกแยกออกเป็น 2 แชนเนลเพื่อนำไปวิเคราะห์ตามเงื่อนไขดังตาราง 6.4

ตารางที่ 6.4

ลอจิกของ I	ลอจิกของ C	a(t)	ลอจิกของ Q	ลอจิกของ C̄	b(t)
0	0	-x v	0	1	-y v
0	1	-y v	0	0	-x v
1	0	+x v	1	1	+y v
1	1	+y v	1	0	+x v

วงจรวิเคราะห์และปฏิบัติตามเงื่อนไข



รูปที่ 6.2

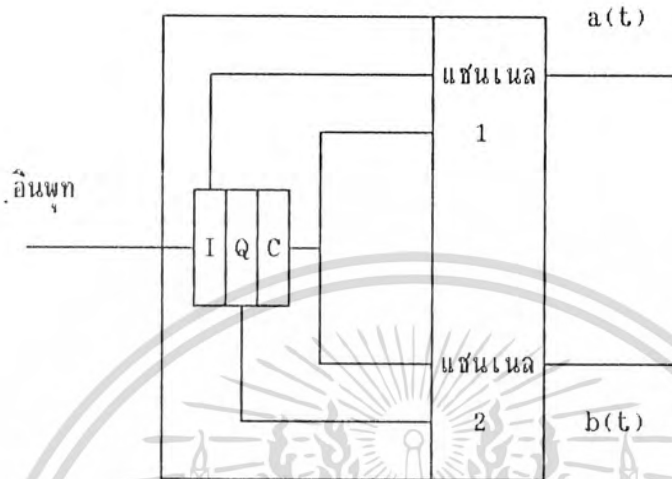
จากตารางที่ 6.4 จะเห็นได้ว่า ลอจิกของ I และ C เป็นเงื่อนไขของการกำหนดค่า  $a(t)$  ส่วนลอจิกของ Q และ  $\bar{C}$  เป็นเงื่อนไขของการกำหนดค่า  $b(t)$  โดย I และ Q แสดงเครื่องหมายของ  $a(t)$  และ  $b(t)$  ตามลำดับว่าเป็นค่าบวกหรือลบ Q แสดงขนาดของ  $a(t)$  และ  $b(t)$  ว่ามีค่าเป็น x volt หรือ y volt เงื่อนไขเหล่านี้ทำให้เกิดค่าทางด้านเอาต์พุต 8 ค่าที่มีเฟสต่างกันแต่มีขนาดเท่ากัน

6.1.5 8 ควอดเรเจอร์แอมพลิจูดมอดูเลชัน (Eight Quadrature Amplitude Modulation (8QAM))

8 ควอดเรเจอร์แอมพลิจูดมอดูเลชันเป็นการใช้รหัส M-ary เมื่อ  $M = 8$  เหมือนกับ 8 เฟสซีฟต์คั้ง ต่างกันตรงเงื่อนไขที่ใช้ในการวิเคราะห์สัญญาณและสัญญาณเอาต์พุต ซึ่งเอาต์พุตเป็นสัญญาณที่มีขนาดไม่คงที่

จากรูปที่ 6.3 จะเห็นได้ว่าสัญญาณไทรบิทที่รับเข้ามาจะถูกแยกออกเป็น 2 แชนเนลเพื่อนำไปวิเคราะห์ตามเงื่อนไขดังตารางที่ 6.5 ซึ่งแสดงให้เห็นว่าลอจิกของ I และ C เป็นเงื่อนไขในการกำหนดค่าของ  $a(t)$  ส่วนลอจิกของ Q และ  $\bar{C}$  เป็นเงื่อนไขในการกำหนดค่าของ  $b(t)$  ลอจิกของ I และ Q ใช้กำหนด  $a(t)$  และ  $b(t)$  ตามลำดับว่ามีค่าเป็นบวกหรือลบ ลอจิก C ใช้กำหนด  $a(t)$  และ  $b(t)$  ว่ามีค่าเป็น x หรือ y volt

วงจรวิเคราะห์และปฏิบัติตามเงื่อนไข



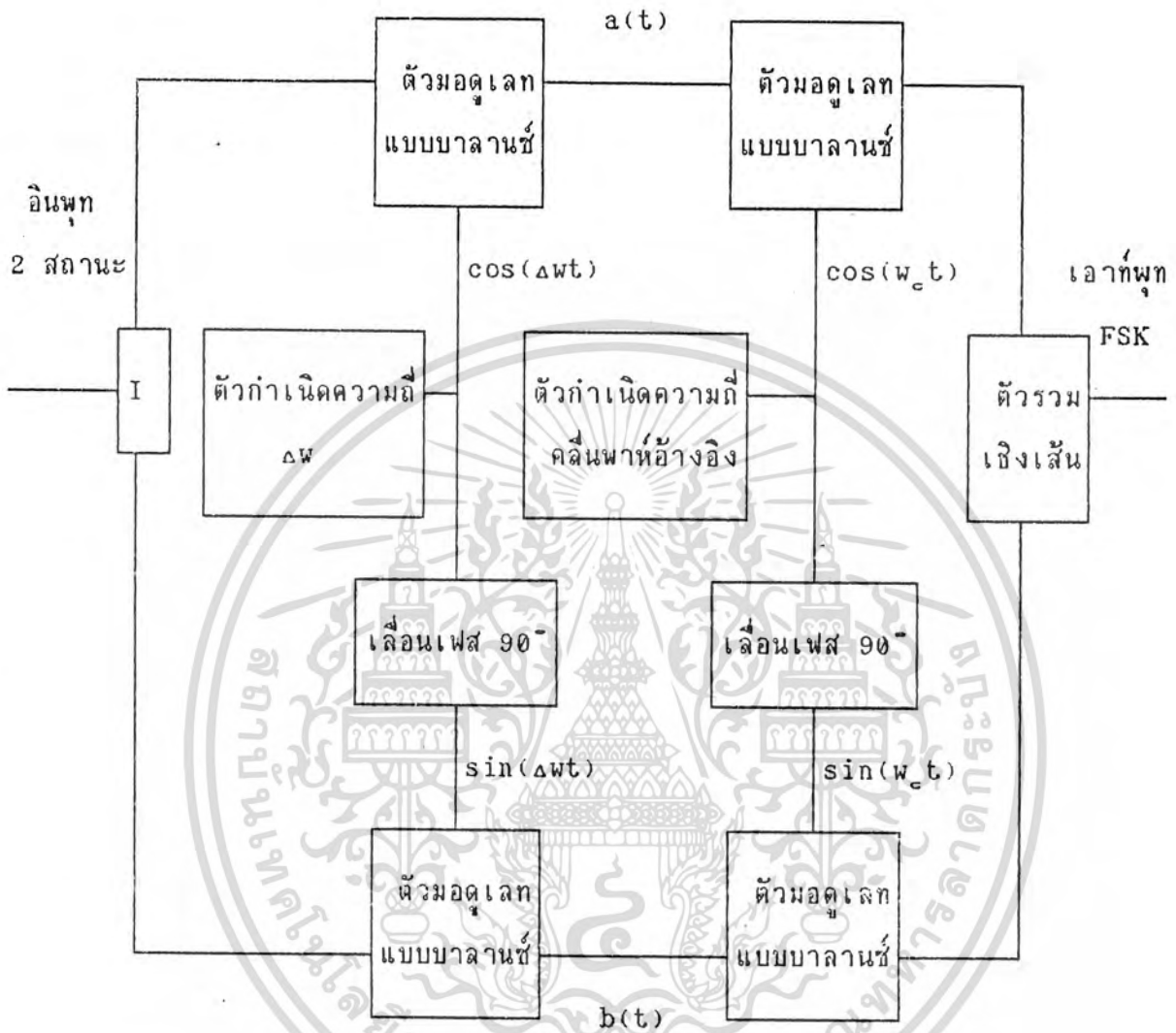
รูปที่ 6.3

ตารางที่ 6.5

ลอจิกของI	ลอจิกของC	a(t)	ลอจิกของQ	ลอจิกของC	b(t)
0	0	-x v	0	0	-x v
0	1	-y v	0	1	-y v
1	0	+x v	1	0	+x v
1	1	+y v	1	1	+y v

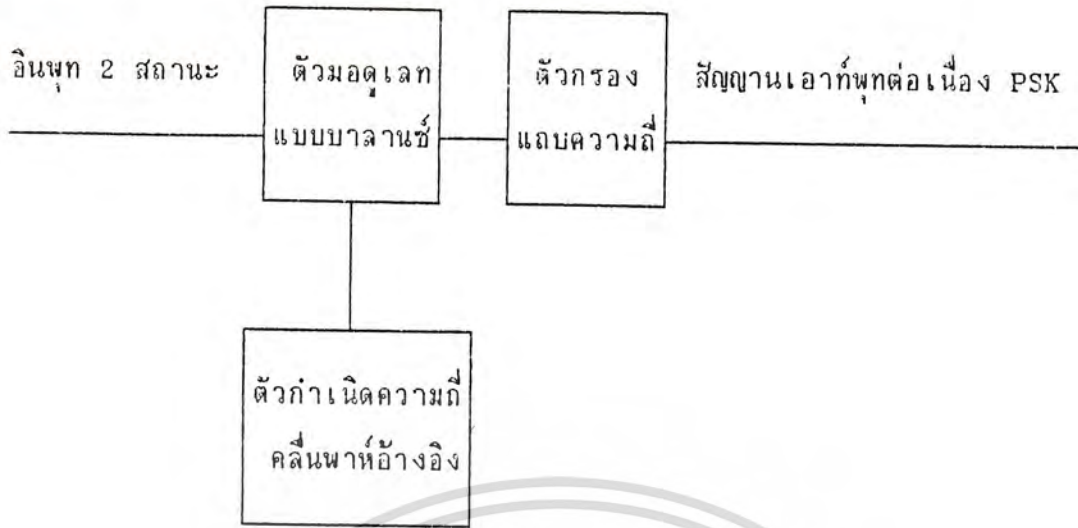
เอกสารนี้เป็นเอกสารที่สงวนไว้สำหรับการใช้งานเพื่อการศึกษาเท่านั้น ไม่อนุญาตให้นำไปใช้ประโยชน์ด้านการค้า  
ไม่ว่ากรณีใดๆทั้งสิ้น อีกทั้งห้ามมิให้ดัดแปลงเนื้อหา และต้องอ้างอิงถึงเจ้าของเอกสารทุกครั้งที่มีการนำไปใช้

## 6.2 แผนผังแสดงการมอดูเลตแบบดิจิตอล

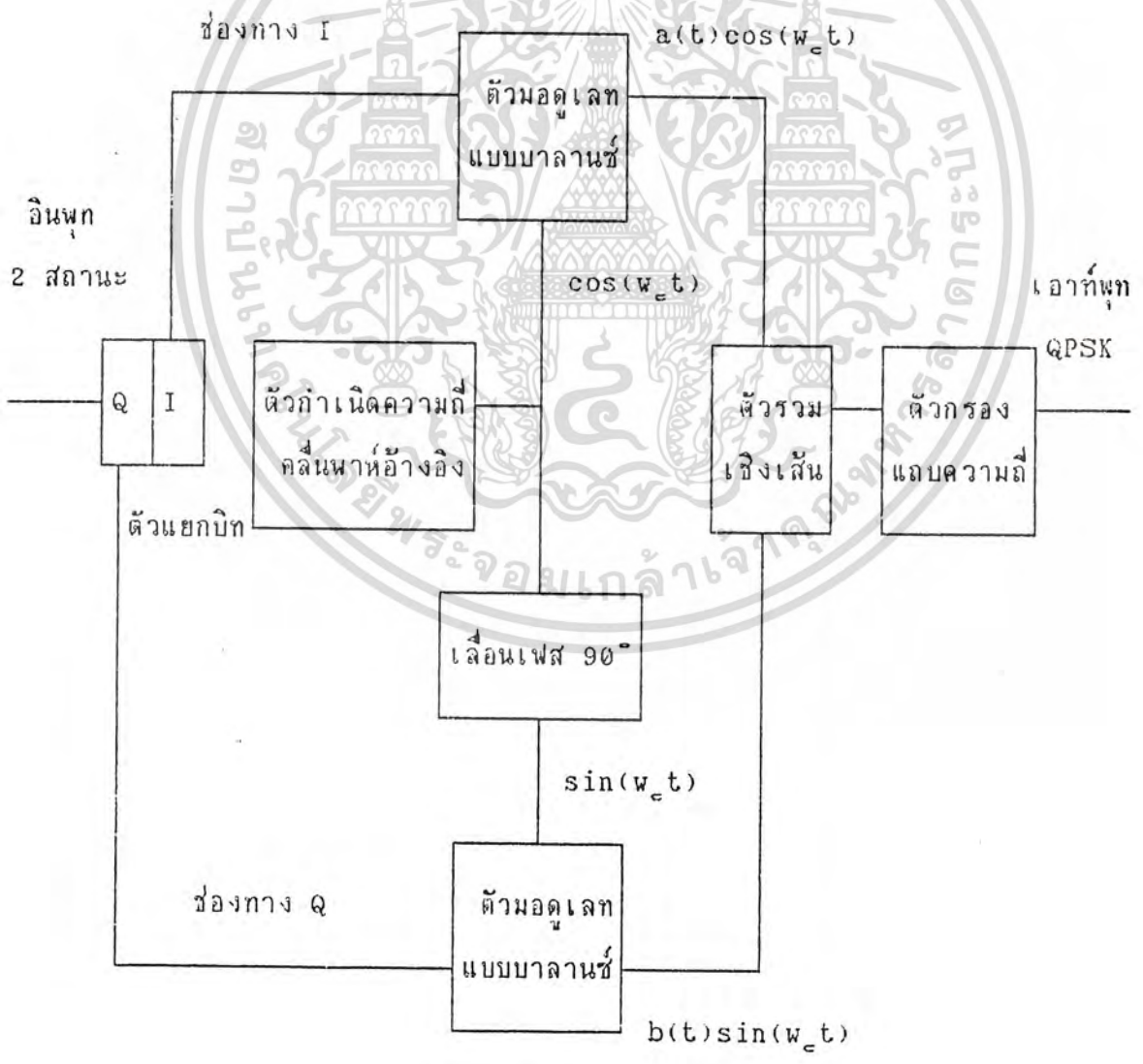


รูปที่ 6.4 ตัวมอดูเลตแบบ FSK

เอกสารนี้เป็นเอกสารที่สงวนไว้สำหรับการใช้งานเพื่อการศึกษาเท่านั้น ไม่อนุญาตให้นำไปใช้ประโยชน์ด้านการค้า  
ไม่ว่ากรณีใดๆทั้งสิ้น อีกทั้งห้ามมิให้ดัดแปลงเนื้อหา และต้องอ้างอิงถึงเจ้าของเอกสารทุกครั้งที่มีการนำไปใช้

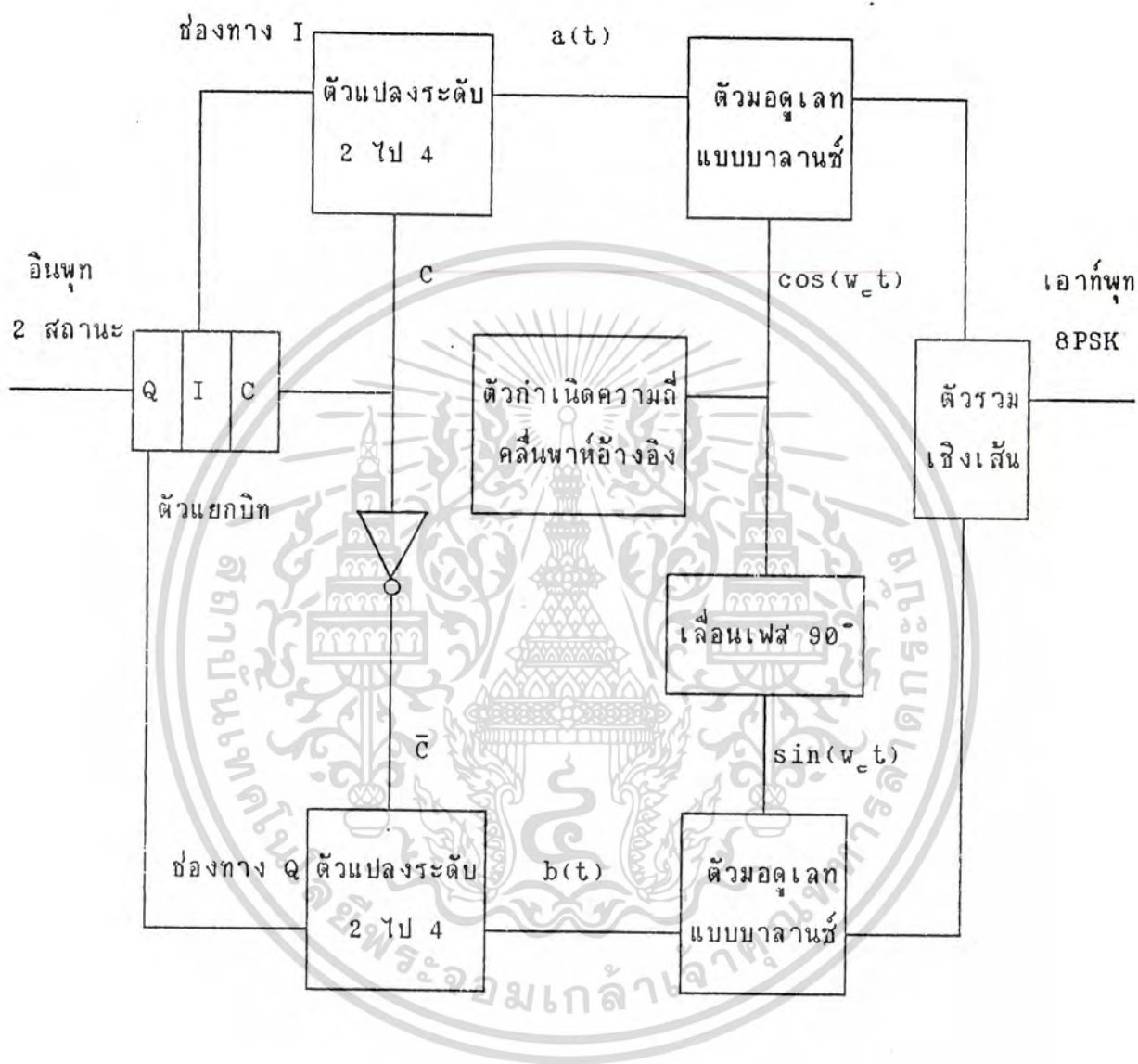


รูปที่ 6.5 ตัวมอดูเลตแบบ BPSK



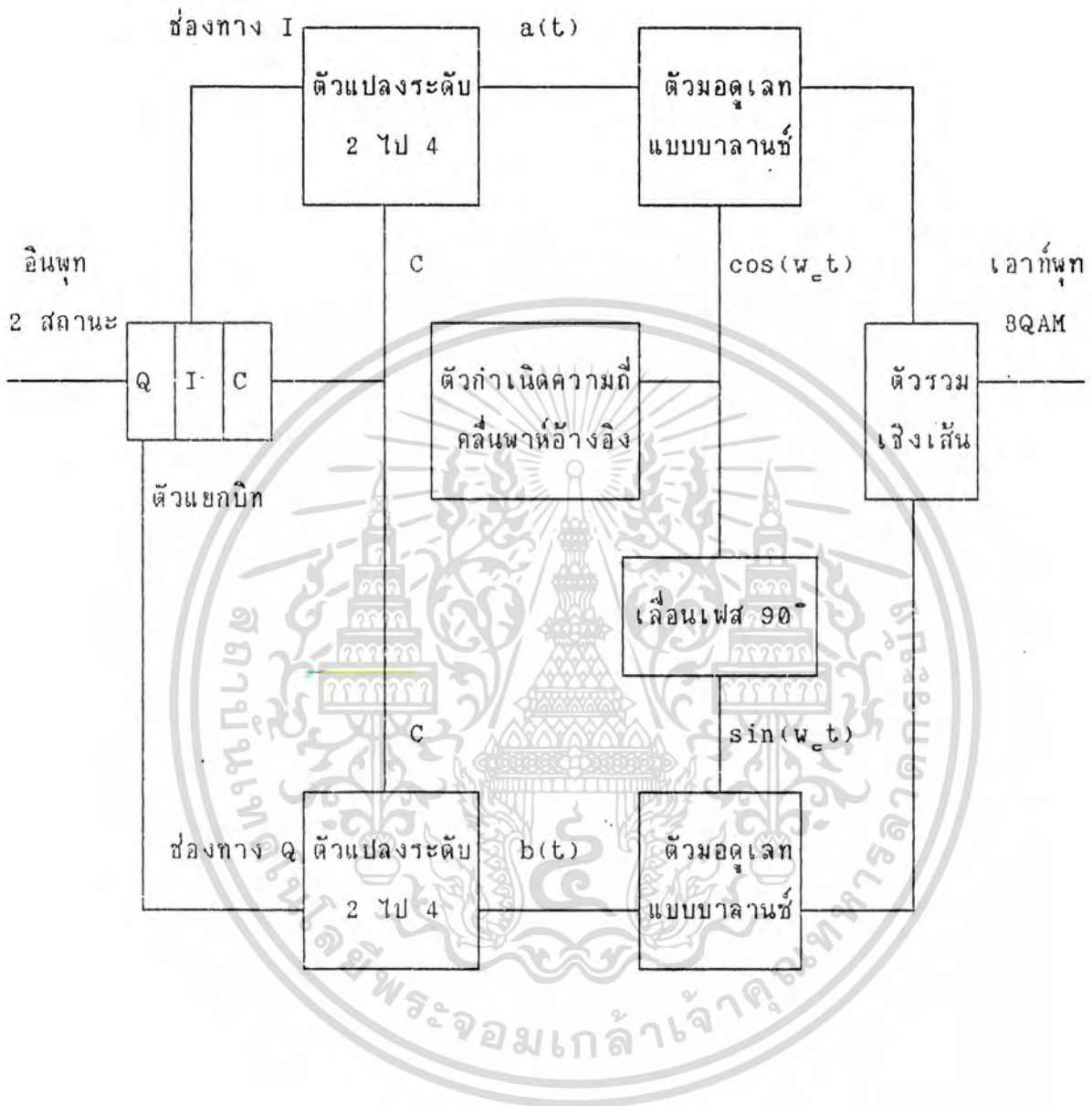
รูปที่ 6.6 ตัวมอดูเลตแบบ QPSK

เอกสารนี้เป็นเอกสารที่สงวนไว้สำหรับครูผู้ใช้งานเพื่อการศึกษาเท่านั้น ไม่อนุญาตให้นำไปใช้ประโยชน์ด้านการค้า  
ไม่ว่ากรณีใดๆทั้งสิ้น อีกทั้งห้ามมิให้ดัดแปลงเนื้อหา และต้องอ้างอิงถึงเจ้าของเอกสารทุกครั้งที่มีการนำไปใช้



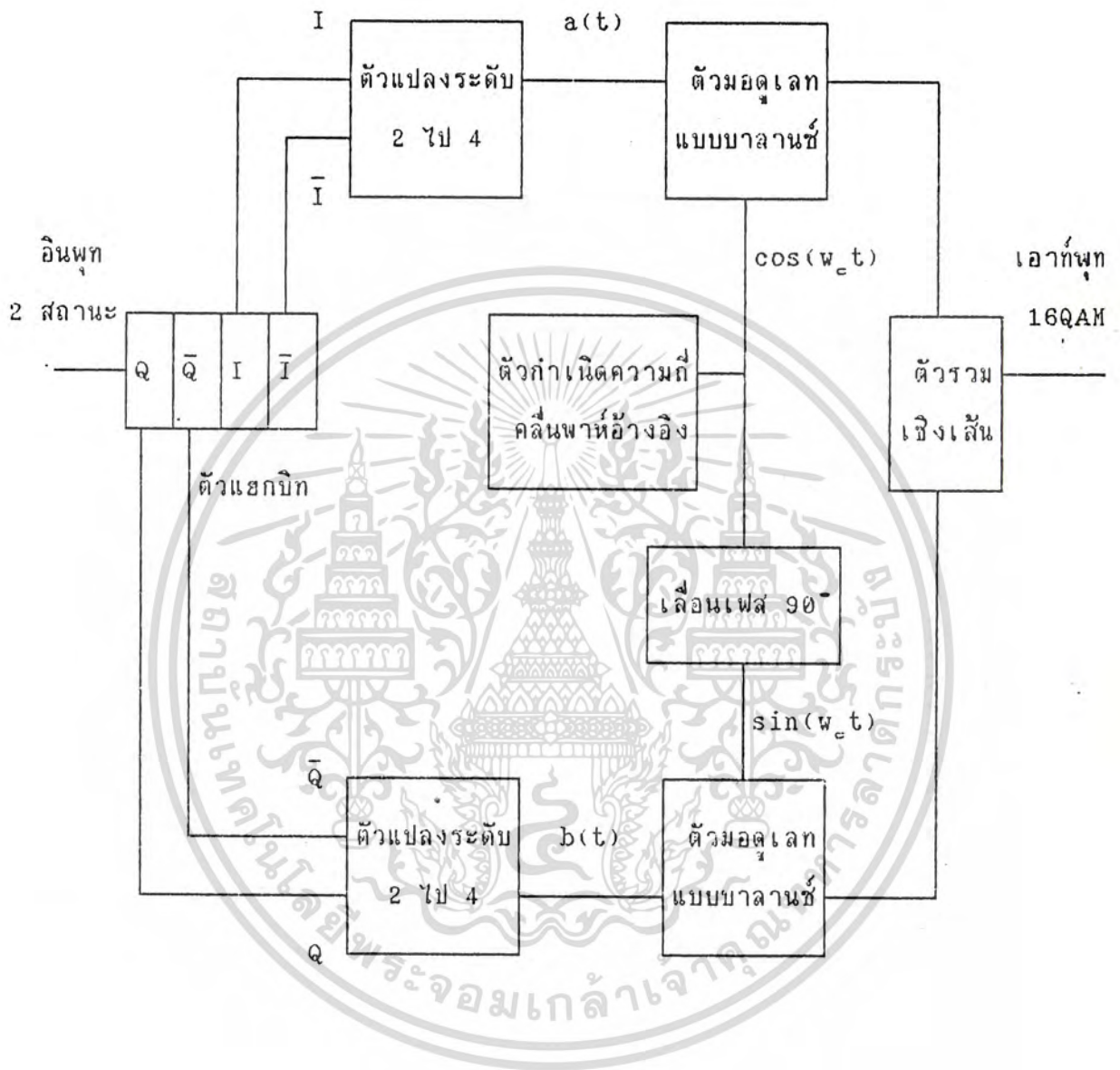
รูปที่ 6.7 ตัวมอดูเลตแบบ 8PSK

เอกสารนี้เป็นเอกสารที่สงวนไว้สำหรับการใช้งานเพื่อการศึกษาเท่านั้น ไม่อนุญาตให้นำไปใช้ประโยชน์ด้านการค้า ไม่ว่าจะกรณีใดๆทั้งสิ้น อีกทั้งห้ามมิให้ดัดแปลงเนื้อหา และต้องอ้างอิงถึงเจ้าของเอกสารทุกครั้งที่มีการนำไปใช้



รูปที่ 6.8 ตัวมอดูเลตแบบ 8QAM

เอกสารนี้เป็นเอกสารที่สงวนไว้สำหรับการใช้งานเพื่อการศึกษาเท่านั้น ไม่อนุญาตให้นำไปใช้ประโยชน์ด้านการค้า  
ไม่ว่ากรณีใดๆทั้งสิ้น อีกทั้งห้ามมิให้ดัดแปลงเนื้อหา และต้องอ้างอิงถึงเจ้าของเอกสารทุกครั้งที่มีการนำไปใช้



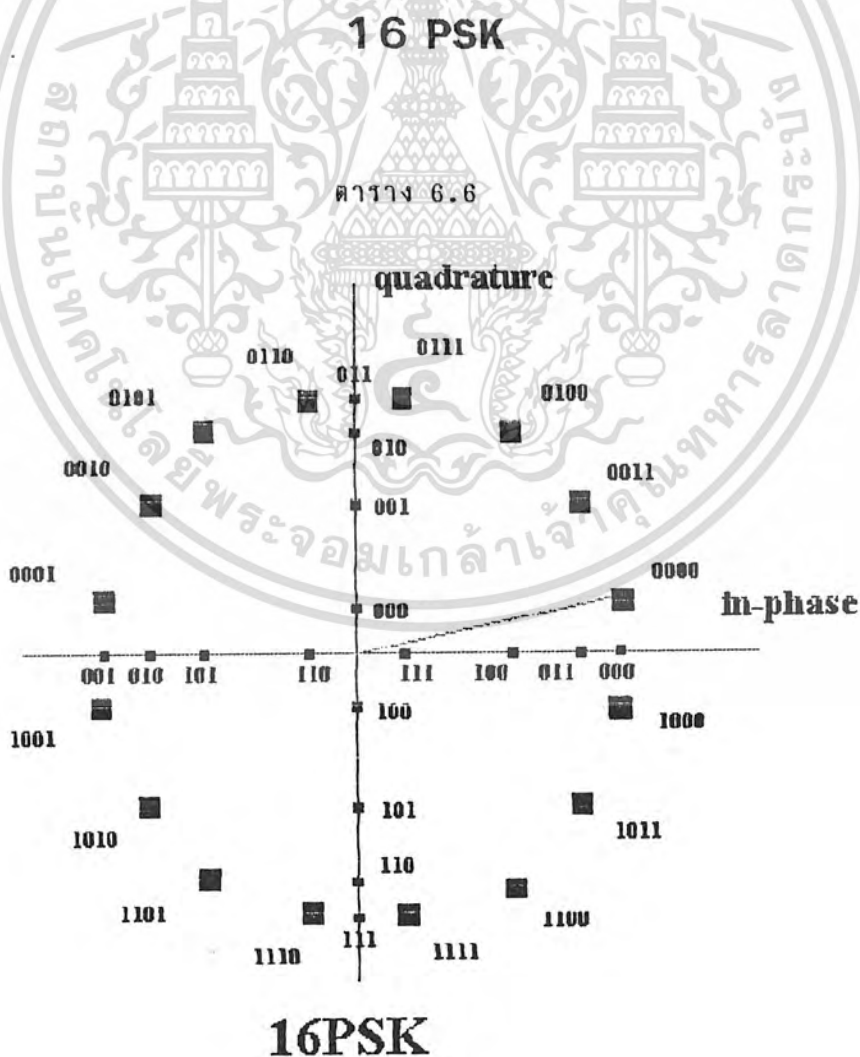
รูปที่ 6.9 ตัวมอดูเลตแบบ 16QAM

เอกสารนี้เป็นเอกสารที่สงวนไว้สำหรับการใช้งานเพื่อการศึกษาเท่านั้น ไม่อนุญาตให้นำไปใช้ประโยชน์ด้านการค้า  
ไม่ว่ากรณีใดๆทั้งสิ้น อีกทั้งห้ามมิให้ดัดแปลงเนื้อหา และต้องอ้างอิงถึงเจ้าของเอกสารทุกครั้งที่มีการนำไปใช้

6.3 ค่าของ  $\alpha$  และ  $\beta$  ของการมอดูเลต

THREE-BIT STATE	$\alpha_1$	$\beta_1$
000	SIN 0	COS 0
001	SIN 3 $\theta$	- COS $\theta$
010	COS 3 $\theta$	- COS 3 $\theta$
011	COS $\theta$	COS 3 $\theta$
100	- SIN $\theta$	SIN 3 $\theta$
101	- SIN 3 $\theta$	- SIN 3 $\theta$
110	- COS 3 $\theta$	- SIN $\theta$
111	- COS $\theta$	SIN $\theta$

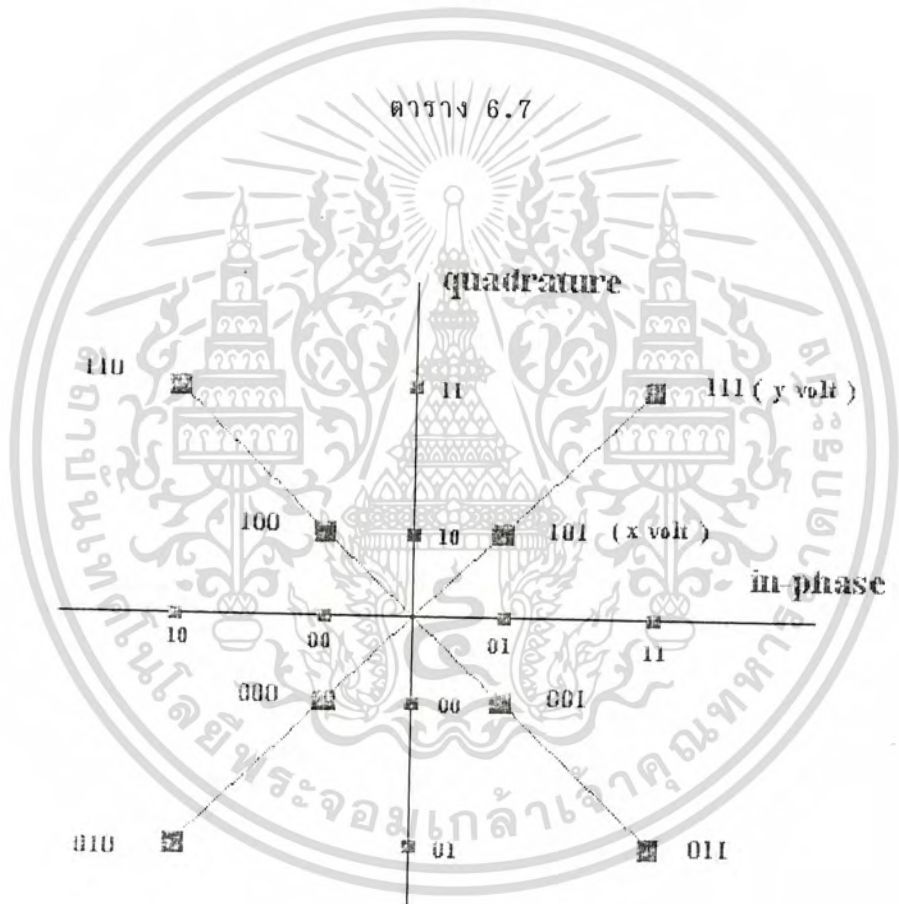
30 อาจเป็น  $n0 < 45$  ;  $n$  เป็นจำนวนเต็มมากกว่า 1



เอกสารนี้เป็นเอกสารที่สงวนไว้สำหรับการใช้งานที่การศึกษาเท่านั้น ไม่อนุญาตให้นำไปใช้ประโยชน์ด้านการค้า  
รูปที่ 6.10  
ไม่ว่ากรณีใดๆทั้งสิ้น อีกทั้งห้ามมิให้ดัดแปลงเนื้อหา และต้องอ้างอิงถึงเจ้าของเอกสารทุกครั้งที่มีการนำไปใช้

TWO-BIT STATE	$\alpha_1$	$\beta_1$
00	$-X \cos 45^\circ$	$-X \sin 45^\circ$
01	$-Y \cos 45^\circ$	$X \sin 45^\circ$
10	$X \sin 45^\circ$	$-Y \cos 45^\circ$
11	$Y \sin 45^\circ$	$Y \cos 45^\circ$

### 8 QAM



### 8QAM

รูปที่ 6.11

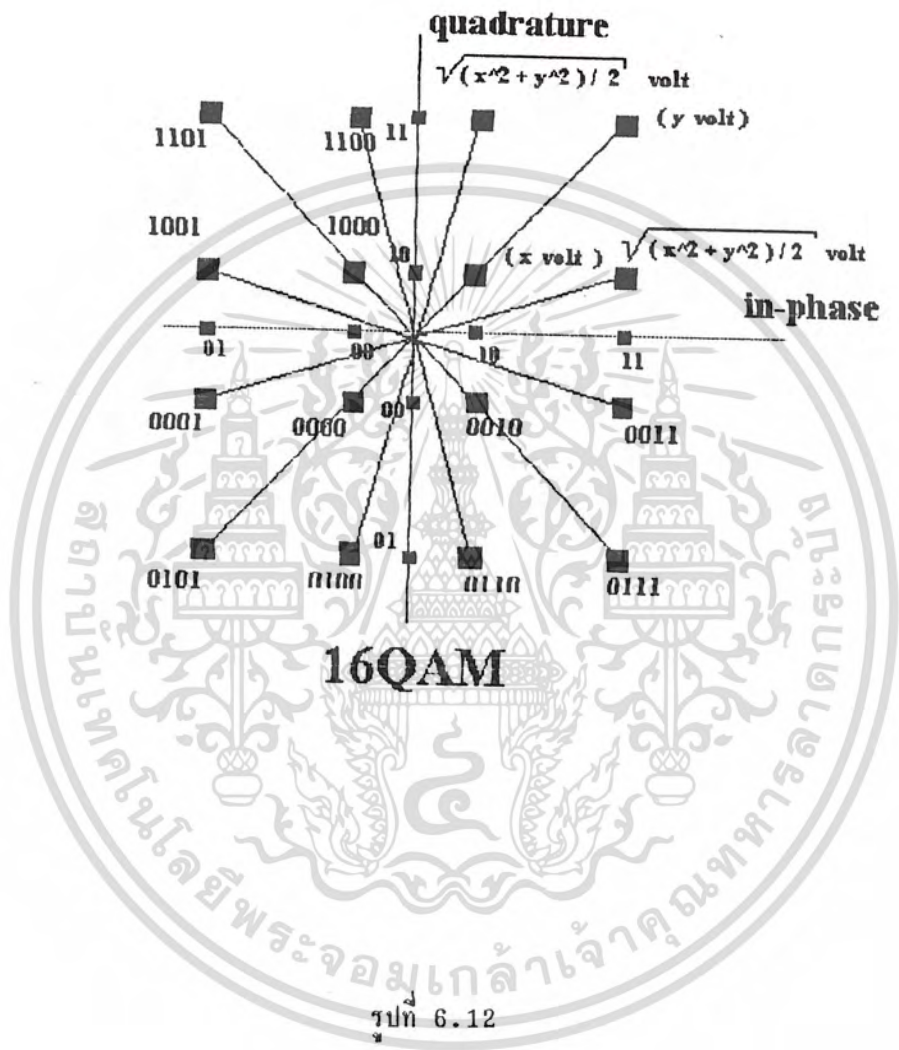
เอกสารนี้เป็นเอกสารที่สงวนไว้สำหรับการใช้งานเพื่อการศึกษาเท่านั้น ไม่อนุญาตให้นำไปใช้ประโยชน์ด้านการค้า  
ไม่ว่ากรณีใดๆทั้งสิ้น อีกทั้งห้ามมิให้ดัดแปลงเนื้อหา และต้องอ้างอิงถึงเจ้าของเอกสารทุกครั้งที่มีการนำไปใช้

$Q\bar{Q}II$	$\alpha_i$	$\beta_i$
0000	$-X \cos 45^\circ$	$-X \sin 45^\circ$
0001	$-\sqrt{\frac{(x^2 + y^2)}{2}} \sin \theta$	$-\sqrt{\frac{(x^2 + y^2)}{2}} \cos \theta$
0010	$-X \cos 45^\circ$	$X \sin 45^\circ$
0011	$-\sqrt{\frac{(x^2 + y^2)}{2}} \sin \theta$	$\sqrt{\frac{(x^2 + y^2)}{2}} \cos \theta$
0100	$-\sqrt{\frac{(x^2 + y^2)}{2}} \cos \theta$	$-\sqrt{\frac{(x^2 + y^2)}{2}} \sin \theta$
0101	$-Y \cos 45^\circ$	$-Y \sin 45^\circ$
0110	$\sqrt{\frac{(x^2 + y^2)}{2}} \cos \theta$	$\sqrt{\frac{(x^2 + y^2)}{2}} \sin \theta$
0111	$-Y \cos 45^\circ$	$Y \sin 45^\circ$
1000	$X \cos 45^\circ$	$-X \sin 45^\circ$
1001	$\sqrt{\frac{(x^2 + y^2)}{2}} \sin \theta$	$-\sqrt{\frac{(x^2 + y^2)}{2}} \cos \theta$
1010	$X \cos 45^\circ$	$X \sin 45^\circ$
1011	$\sqrt{\frac{(x^2 + y^2)}{2}} \sin \theta$	$\sqrt{\frac{(x^2 + y^2)}{2}} \cos \theta$
1100	$\sqrt{\frac{(x^2 + y^2)}{2}} \cos \theta$	$-\sqrt{\frac{(x^2 + y^2)}{2}} \sin \theta$
1101	$Y \cos 45^\circ$	$-Y \sin 45^\circ$
1110	$\sqrt{\frac{(x^2 + y^2)}{2}} \cos \theta$	$\sqrt{\frac{(x^2 + y^2)}{2}} \sin \theta$
1111	$Y \cos 45^\circ$	$Y \sin 45^\circ$

\*  $\tan \theta = x/y$  ;  $x < y$

### 16 QAM

เอกสารนี้เป็นเอกสารที่สงวนไว้สำหรับการใช้งานเพื่อการศึกษาเท่านั้น ไม่อนุญาตให้นำไปใช้ประโยชน์ด้านการค้า  
 ไม่ว่ากรณีใดๆทั้งสิ้น อีกทั้งห้ามมิให้ดัดแปลงเนื้อหา และต้องอ้างอิงถึงเจ้าของเอกสารทุกครั้งที่มีการนำไปใช้



6. โปรแกรมภาษา C

เอกสารนี้เป็นเอกสารที่สงวนไว้สำหรับการใช้งานเพื่อการศึกษาเท่านั้น ไม่อนุญาตให้นำไปใช้ประโยชน์ด้านการค้า  
ไม่ว่ากรณีใดๆทั้งสิ้น อีกทั้งห้ามมิให้ดัดแปลงเนื้อหา และต้องอ้างอิงถึงเจ้าของเอกสารทุกครั้งที่มีการนำไปใช้

```

/*****
* MODULATE.C : show graph of c(t) = a(t)sin(wt) + b(t)*cos(wt) *
*****/
#include <stdlib.h>
#include <process.h>
#include <stdio.h>
#include <string.h>
#include <math.h>
#include <conio.h>
#include <dos.h>
#include <dir.h>
#include <graphics.h>
#include "popup.c"

#define PI 3.141592654
#define ESC 0x1B

#define QPSKsin 0.707 /* angle is 45 degree */
#define QPSKcos 0.707 /* angle is 45 degree */

#define EQAMx (0.541*0.707)
#define EQAMxsin (0.541*0.707)
#define EQAMy (1.307*0.707)
#define EQAMysin (1.307*0.707)

#define EPSKx 0.22
#define EPSKy 0.821

#define SPSKw 0.195
#define SPSKx 0.5556
#define SPSKy 0.8314
#define SPSKz 0.9807

#define SQAMxcos (0.311*0.707)
#define SQAMxsin (0.311*0.707)
#define SQAMycos (1.161*0.707)
#define SQAMysin (1.161*0.707)
#define SQAMxycos (0.850*0.9659)
#define SQAMxysin (0.850*0.2588)

void set_sym(char type) ;
void shift(double new_co, char channel) ;
void update(int i) ;
void setgraph() ;
void drawgrid() ;
void display(double value, char channel) ;
int mod(double pam_a, double pam_b, int j, int L, char channel) ;
int quantize(double output) ;
int popup_menu(char *menu_name[], char *hot_key, int num) ;
double coef(int k, char channel) ;
double pulse_shape(int j, int k) ;
double binary(char type, int i) ;
double quad(int i, char channel) ;
double octa(char type, int i, char channel) ;
double sixteen(char type, int i, char channel) ;

char mode, type, resolve, graph_type, observe, colorbk;
int j, k, L, M, maxx, maxy, array[8], limitx,
step = 25, step_width = 10 ;
float r;

```

เอกสารนี้เป็นเอกสารที่สงวนไว้สำหรับใช้ทำงานเพื่อการศึกษเท่านั้น ไม่อนุญาตให้นำไปใช้ประโยชน์ด้านการค้า

ไม่ว่ากรณีใดๆทั้งสิ้น อีกทั้งห้ามมิให้ดัดแปลงเนื้อหา และต้องอ้างอิงถึงเจ้าของเอกสารทุกครั้งที่มีการนำไปใช้

```

double *shift_register_a,*shift_register_b ,factor = 1;
unsigned long n = 0 ;
union { char byte ;
      struct { unsigned int single_bit7: 1 ;
              unsigned int single_bit6: 1 ;
              unsigned int single_bit5: 1 ;
              unsigned int single_bit4: 1 ;
              unsigned int single_bit3: 1 ;
              unsigned int single_bit2: 1 ;
              unsigned int single_bit1: 1 ;
              unsigned int single_bit0: 1 ;
            } binary ;
      struct { unsigned int dibit3: 2 ;
              unsigned int dibit2: 2 ;
              unsigned int dibit1: 2 ;
              unsigned int dibit0: 2 ;
            } quad ;
      struct { unsigned int tribit2: 2 ;
              unsigned int tribit1: 3 ;
              unsigned int tribit0: 3 ;
            } octa ;
      struct { unsigned int quadbit1: 4 ;
              unsigned int quadbit0: 4 ;
            } sixteen ;
} ch ;
char *menu_mode[] = { "OOK " ,
                    "Bpsk " ,
                    "Qpsk " ,
                    "8Psk " ,
                    "16pSk " ,
                    "8Qam " ,
                    "16qam "
                } ,
    *menu_resolve[] = { "PULSE_SHAPE" ,
                       "PULSE*COEF" ,
                       "PAM_OUTPUT"
                } ,
    *menu_observe[] = { "BASEBAND " ,
                       "EYE_DIAGRAM " ,
                       "CONSTELLATION "
                } ,
    *menu_graph_type[] = { "STAIR_CASE " ,
                          "DOTTED LINE " ,
                          "SMOOTHED "
                } ,
    *menu_source[] = { "\"DATA.OUT\" " ,
                      " OPEN NEW FILE " ,
                      " RANDOM DATA "
                } ,
    *menu_colorbk[] = { " WHITE " ,
                       " BLACK "
                } ;

/*****
* function main :
*****/
void main()
{
    int count,i,j,temp,loop,gmode,errorcode,gdriver = DETECT ;
    double p=0,result_a=0,result_b=0,pam_output_a=0,pam_output_b=0,
    pam_output_c=0,co_a=0,co_b=0;

```

เอกสารนี้เป็นเอกสารที่สงวนลิขสิทธิ์ของมหาวิทยาลัยเทคโนโลยีพระจอมเกล้าธนบุรี  
 ไม่สามารถแก้ไขทั้งสิ้น อีกทั้งห้ามมีเหตุเปลี่ยนแปลงเนื้อหา และต้องอ้างอิงถึงเจ้าของเอกสารทุกครั้งที่มีการนำไปใช้

```

FILE *fp ; /* data file to mod */
FILE *fpointer; /* data file already mod */
char temp_char,filename[30], *fname, source, channel = 'a';

clrscr() ;
sound(500) ; delay(250) ; nosound() ;
sound(1000) ; delay(350) ; nosound() ;
sound(1500) ; delay(350) ; nosound() ;
r = 1.0 ;
M = 9 ;
L=24;
step_width = 2 ;
step += step_width ;
printf("\n\t SELECT BACKGROUND COLOR = ") ;
colorbk = popup_menu(menu_colorbk,"wb",2) ;

resolve = '2' ;
if( resolve != '0' ) /* not pulse_shape */
{
printf("\n\t DIGITAL MODULATION MODE = ") ;
mode = popup_menu(menu_mode,"obqpsqm",7) ;
observe = '0'; /***baseband ***/
fname = searchpath("ref.tx") ;
if(fname == NULL)
{
printf("\n\t CAN'T FIND FILE \"DATA.OUT\"") ;
exit(0) ;
}
}
if ((resolve != '1') && (observe != '2'))
graph_type = '2';
else /* PULSE * COEF */ /* DOTTED LINE */
graph_type = '1' ;

/***** initial graphic mode *****/
initgraph(&driver, &mode, "") ; // request auto detection
errorcode = graphresult() ;
if (errorcode != grOk) /* an error occurred */
{
printf("Graphics error: %s\n",grapherrormsg(errorcode));
printf("Press any key to halt:");
getch() ;
exit(1) ; /* return with error code */
}
maxx = getmaxx() ;
maxy = getmaxy() ;
limitx = L * floor( floor( (maxx-48) / step_width ) / L) ;

if (colorbk == '0')
setbkcolor( 15 ) ; /* white background */
else
setbkcolor( 0 ) ; /* black background */
setgraph() ;

if (source != '2')
fp = fopen(fname,"rb") ; /* open file to read to send */

// allocate memory 2M block as a shift register 2M stage

```

เอกสารนี้เป็นเอกสารที่สงวนไว้สำหรับการใช้งานที่ออกการศึกษาเท่านั้น ไม่อนุญาตให้ทำไปใช้ในประโยชน์ด้านการค้า  
 ไม่ว่าจะกรณีใดๆทั้งสิ้น อีกทั้งห้ามมิให้ดัดแปลงเนื้อหา และต้องอ้างอิงถึงเจ้าของเอกสารทุกครั้งที่มีการนำไปใช้

```

if (observe != '1')
    shift_register_b=(double *)calloc((2 * M),sizeof(double));

switch(mode)
{
    case '0' : { loop = 8 ; type = 'b' ; } break ;
    case '1' : { loop = 8 ; type = 'b' ; } break ;
    case '2' : { loop = 4 ; type = 'q' ; } break ;
    case '3' : { loop = 3 ; type = 'o' ; } break ;
    case '4' : { loop = 2 ; type = 's' ; } break ;
    case '5' : { loop = 3 ; type = 'o' ; } break ;
    case '6' : { loop = 2 ; type = 's' ; } break ;
    default : printf("\n\t*** UNKNOWN MODE SELECTED ***") ;
              exit(1);
}

fpointer = fopen("c.mod","wb") ;

while( (temp=(source=='2') ? random(512) : getc(fp))!=EOF )
{
    ch.byte = temp ;
    set_sym(type) ;// call funtion to set new character

    for (i = 0 ; i < loop ; i++,n++)
    {
        update(i) ;
        for( j=1;j < L+1;j++,pam_output_a=0,pam_output_b=0 )
        {
            for( k = -M ; k < M ; k++ )
            {
                p = pulse_shape(j,k) ; /* find pulse value */
                co_a = coef(k,'a') ; /* find coef of channel a*/
                result_a = p * co_a ;
                pam_output_a += result_a ;

                if ((observe != '1') && (resolve == '2'))
                {
                    co_b = coef(k,'b') ; /* find coef of channel b*/
                    result_b = p * co_b ;
                    pam_output_b += result_b ;
                }
            }
            temp = mod(pam_output_a,pam_output_b,j,L,'b') ;
            display(temp,'b') ; /* c(t) in ch b dash line */
            temp = temp + 128;
            putc(temp,fpointer) ;
        }
    }
} /* end of file or user terminate */
fclose(fp) ;
fclose(fpointer) ;
free (shift_register_a) ;
free (shift_register_b) ;
moveto(maxx-200,maxy-20) ;
setcolor(colorbk == '1' ? 0 : 8) ;
outtext("PRESS ESC TO EXIT...") ;
while (getch() != ESC)
    getch() ;
clearviewport() ;
closegraph() ;
} /* end main and exit program */

```

เอกสารนี้เป็นเอกสารของภาควิชาวิศวกรรมคอมพิวเตอร์ มหาวิทยาลัยเทคโนโลยีพระจอมเกล้าธนบุรี ไม่อนุญาตให้นำไปใช้ประโยชน์ด้านการค้า

ไม่ว่ากรณีใดๆทั้งสิ้น อีกทั้งห้ามมิให้ดัดแปลงเนื้อหา และต้องอ้างอิงถึงเจ้าของเอกสารทุกครั้งที่มีการนำไปใช้

```

/*****
function popup_menu : put menu onto screen and get value *
require             : menu name, hot key and number menu *
return              : character of selected item          *
*****/
int popup_menu(char *menu_name[], char *hot_key, int num )
{
    int temp, cursor_x, cursor_y ;

    /* call function popup in file popup.c */

    cursor_x = wherex() ;
    cursor_y = wherex() ;
    temp = popup(menu_name, hot_key, num, cursor_y-1, cursor_x, 1) ;
    if (temp == -1) /* user press escape button */
    {
        gotoxy(cursor_x, cursor_y) ;
        printf("\n\t*** PROGRAM TERMINATED BY USER ***") ;
        exit(0) ;
    }
    gotoxy( cursor_x, cursor_y ) ; /* user selected one item */
    /* put item selected on screen at (cursor_x, cursor_y) */
    puts( menu_name[temp] ) ;
    return temp + 48 ; /* convert integer to character */
}

/*****
* function set_sym : assign value in 1 character to array[] *
* require          : (char)type; (extern)array[], (struct)ch *
* return           : ? *
*****/
void set_sym(char type)
{
    switch(type)
    {
        case 'b' : { array[0] = ch.binary.single_bit0 ;
                    array[1] = ch.binary.single_bit1 ;
                    array[2] = ch.binary.single_bit2 ;
                    array[3] = ch.binary.single_bit3 ;
                    array[4] = ch.binary.single_bit4 ;
                    array[5] = ch.binary.single_bit5 ;
                    array[6] = ch.binary.single_bit6 ;
                    array[7] = ch.binary.single_bit7 ;
                    } break ;
        case 'q' : { array[0] = ch.quad.dibit0 ;
                    array[1] = ch.quad.dibit1 ;
                    array[2] = ch.quad.dibit2 ;
                    array[3] = ch.quad.dibit3 ;
                    } break ;
        case 'o' : { array[0] = ch.octa.tribit0 ;
                    array[1] = ch.octa.tribit1 ;
                    array[2] = ch.octa.tribit2 ;
                    } break ;
        case 's' : { array[0] = ch.sixteen.quadbit0 ;
                    array[1] = ch.sixteen.quadbit1 ;
                    } break ;
        default  : printf("\n default mode in function set_sym");
                    exit(1) ;
    }
}

```

เอกสารนี้เป็นเอกสารที่สงวนไว้สำหรับการใช้งานเพื่อการศึกษาเท่านั้น ไม่อนุญาตให้นำไปใช้ประโยชน์ด้านการค้า  
ไม่ว่ากรณีใดๆทั้งสิ้น อีกทั้งห้ามมิให้ดัดแปลงเนื้อหา และต้องอ้างอิงถึงเจ้าของเอกสารทุกครั้งที่มีการนำไปใช้

```

/*****
* function update : call shift() and send parameter *
* require       : (int) i, (ext)(char) mode      *
* return        : -                             *
*****/
void update(int i)
{
    switch(mode)
    {
        case '0' : shift( binary('0',i),'a' ) ;
                    break ;
        case '1' : shift( binary('1',i),'a' ) ;
                    break ;
        case '2' : { shift( quad(i,'a'),'a' ) ;
                    .   if (observe != '1')
                        shift( quad(i,'b'),'b' ) ;
                    }
                    break ;
        case '3' : { shift( octa('3',i,'a'),'a' ) ;
                    if (observe != '1')
                        shift( octa('3',i,'b'),'b' ) ;
                    }
                    break ;
        case '4' : { shift( sixteen('4',i,'a'),'a' ) ;
                    if (observe != '1')
                        shift( sixteen('4',i,'b'),'b' ) ;
                    }
                    break ;
        case '5' : { shift( octa('6',i,'a'),'a' ) ;
                    if (observe != '1')
                        shift( octa('6',i,'b'),'b' ) ;
                    }
                    break ;
        case '6' : { shift( sixteen('7',i,'a'),'a' ) ;
                    if (observe != '1')
                        shift( sixteen('7',i,'b'),'b' ) ;
                    }
                    break ;
        default  : printf("\t default mode in function update") ;
                    exit (1) ;
    }
}

/*****
* function shift : shift new coefficient into shift register *
* require       : (double)new_coefficient,          *
                (ext)(double)*(shift_register_a),  *
                *(shift_register_b)                *
* return        : -                             *
*****/
void shift(double new_coefficient, char channel)
{
    int count ;

    for (count = 0 ; count < (2 * M)-1 ; count++)
    {
        if(channel == 'a')
            *(shift_register_a+count)=*(shift_register_a+count+1) ;
        else
            *(shift_register_b+count)=*(shift_register_b+count+1) ;
    }
}

```

เอกสารนี้เป็นเอกสารที่สงวนไว้ว่าห้ามกรใช้ในงานที่ออกจากรั้วมหาวิทยาลัยไม่ว่าในกรณีใด ๆ ประโยชน์ด้านการค้า  
ไม่ว่ากรณีใดๆทั้งสิ้น อีกทั้งห้ามมิให้ดัดแปลงเนื้อหา และต้องอ้างอิงถึงเจ้าของเอกสารทุกครั้งที่มีการนำไปใช้

```

}

if (channel == 'a')
    *(shift_register_a + count) = new_coefficient ;
else
    *(shift_register_b + count) = new_coefficient ;

} /* return to funtion update */

/*****
* function pulse_shape : calculate sampling of pulse *
* require           : (ext)(float)r, (int)j, (int)k *
* return            : (double)p *
*****/
double pulse_shape(int j,int k)
{
    register double temp,p ;

    if ((k != -1) || (j != L))
    {
        temp = (k + (double)j/(double)L) ;
        if ((r == 1) && (fabs(temp) == 0.5))
            return 0.5 ;
        p = ((sin(PI * temp)) * (cos(r*PI * temp)))/(PI * temp) ;
        temp = 1-(4*r*r*temp*temp) ;
        if (temp == 0)
            return 0 ;
        return p/temp ;
    }
    else
        return 1 ;
}

/*****
* function coef : find index from M and k *
* *
* require       : (int)k; (ext)(double)*shift_register_a, *
*               (int) M ,*shift_register_b, *
* return        : (double)reg_cont in stage pointed by index *
* *
*****/
double coef(int k,char channel)
{
    double reg_cont ;

    if (channel == 'a')
        reg_cont = *(shift_register_a + M - k - 1) ;
    else
        reg_cont = *(shift_register_b + M - k - 1) ;

    return reg_cont ;
} /* return to funtion sum */

/*****
* function binary : store coefficient in mode OOK and BPSK *
* require         : (char)type;(int)i; (ext)array[],channel *
* return          : (double)table[index] *
*****/
double binary(char type,int i)

```

เอกสารนี้เป็นเอกสารที่สงวนไว้สำหรับบริการเชิงงานเพื่อการศึกษาเท่านั้น ไม่อนุญาตให้นำไปใช้ประโยชน์ด้านการค้า

ไม่ว่ากรณีใดๆทั้งสิ้น อีกทั้งห้ามมิให้ดัดแปลงเนื้อหา และต้องอ้างอิงถึงเจ้าของเอกสารทุกครั้งที่มีการนำไปใช้

```

switch(type)
{
/*OOK*/ case '0' : if (array[i] == 0) return 0 ;
                else return 1 ;
/*BPSK*/ case '1' : if (array[i] == 0) return 1 ;
                else return -1 ;
        default : printf("\ndefault type in binary()");
                exit(1) ;
}
}

/*****
* function quad : store value of coefficient in mode QPSK *
* require      : (int)i; (ext)array[],channel          *
* return       : (double)table[index]                 *
*****/
double quad(int i,char channel)
{
    int index ;
    double table[8] = { -QPSKsin,-QPSKcos, /* 00 */
                       -QPSKsin, QPSKcos, /* 01 */
                       QPSKsin,-QPSKcos, /* 10 */
                       QPSKsin, QPSKcos, /* 11 */
                       };

    index = (2 * array[i]) + ( (channel == 'a') ? 0 : 1 ) ;
    return table[index] ;
}

/*****
* function octa : store coefficient in mode 16QPSK and 16QAM *
* require      : (char)type;(int)i; (ext)array[],channel    *
* return       : (double)table[index]                       *
*****/
double octa(char type,int i,char channel)
{
    int index ;
    double table[32]={-EPSKx,-EPSKy,-EQAMx,-EQAMy, /* 000 */
                     -EPSKx, EPSKy,-EQAMx, EQAMy, /* 001 */
                     EPSKx,-EPSKy,-EQAMy,-EQAMy, /* 010 */
                     EPSKx, EPSKy,-EQAMy, EQAMy, /* 011 */
                     -EPSKy,-EPSKx, EQAMx,-EQAMx, /* 100 */
                     -EPSKy, EPSKx, EQAMx, EQAMx, /* 101 */
                     EPSKy,-EPSKx, EQAMy,-EQAMy, /* 110 */
                     EPSKy, EPSKx, EQAMy, EQAMy /* 111 */
                     };

    index=( 4*array[i])+((type=='3')?0:2)+((channel=='a')?0:1) ;
    return table[index] ; /* type 3 = 8psk */
}

/*****
function sixteen : store coefficient in mode 16QPSK and 16QAM *
require          : (char)type;(int)i; (ext)array[],channel    *
return           : (double)table[index]                       *
*****/
double sixteen(char type,int i,char channel)
{
    int index ;
    double table[64]={SPSKw, SPSKz,-SQAMxcos, -SQAMxsin, // 0000

```

```

SPSKw, -SPSKz, -SQAMxysin, -SQAMxycos, // 0001
SPSKx, SPSKy, -SQAMxcos, SQAMxsin, // 0010
SPSKx, -SPSKy, -SQAMxysin, SQAMxycos, // 0011
SPSKy, SPSKx, -SQAMxycos, -SQAMxysin, // 0100
SPSKy, -SPSKx, -SQAMycos, -SQAMysin, // 0101
SPSKz, SPSKw, -SQAMxycos, SQAMxysin, // 0110
SPSKz, -SPSKw, -SQAMycos, SQAMysin, // 0111
-SPSKw, SPSKz, SQAMxcos, -SQAMxsin, // 1000
-SPSKw, -SPSKz, SQAMxysin, -SQAMxycos, // 1001
-SPSKx, SPSKy, SQAMxcos, SQAMxsin, // 1010
-SPSKx, -SPSKy, SQAMxysin, SQAMxycos, // 1011
-SPSKy, SPSKx, SQAMxycos, -SQAMxysin, // 1100
-SPSKy, -SPSKx, SQAMycos, -SQAMysin, // 1101
-SPSKz, SPSKw, SQAMxycos, SQAMxysin, // 1110
-SPSKz, -SPSKw, SQAMycos, SQAMysin // 1111
};

index=( 4*array[i])+((type=='4')?0:2) + ((channel=='a')?0:1 );
return table[index] ; /* type 4 = 16psk */
}

/*****
* function setgraph : set graphic screen, axes, border *
* require : (extern) resolve *
* return : - *
*****/
void setgraph()
{
char *temp_string = '\0' ;
int dec, sign, count ;

drawgrid() ; /* draw grid */
setcolor(9) ; /* blue text */
moveto (25,15) ;

if (resolve == '2') /* PAM_OUTPUT */
{
outtext( menu_observe[(int)observe - 48] ) ;
outtext(" of " ) ;
}

outtext( menu_resolve[(int)resolve - 48] ) ;

if (resolve != '0')
{
outtext( ",MODE " ) ;
outtext( menu_mode[(int)mode - 48] ) ;
}

outtext( ",UNIFORM QUANTIZE 256 LEVELS" ) ;
moveto( 25, 30 ) ;
outtext( "ROLL-OFF FACTOR (r) = " ) ;
temp_string = fcvt( r, 2, &dec, &sign ) ;

if ( dec<=0 )
outtext( "0." ) ;

if ( r == 0.0 )
outtext("0.00") ;
else

```

เอกสารนี้เป็นเอกสารที่สงวนไว้สำหรับการใช้งานเพื่อการศึกษาเท่านั้น ไม่อนุญาตให้นำไปใช้ประโยชน์ด้านการค้า  
ไม่ว่ากรณีใดๆทั้งสิ้น อีกทั้งห้ามมิให้ดัดแปลงเนื้อหา และต้องอ้างอิงถึงเจ้าของเอกสารทุกครั้งที่มีการนำไปใช้

```

if (r == 1)
    outtext("1") ;
else
    {
        for( count = dec ; count <0 ; count++ )
            {
                outtext( "0" ) ;
                outtext( temp_string ) ;
            }
    }
itoa( M, temp_string, 10 ) ;
outtext( " ,ISI LENGTH (M) = " ) ;
outtext( temp_string ) ;
outtext( " ," ) ;
itoa( L, temp_string, 10 ) ;
outtext( temp_string ) ;
outtext( " SAMPLES PER SYMBOL" ) ;

if (observe != '2') /* not constellation */
    {
        . outtextxy( 15, (maxy/2), observe == '2' ? "" : "0" ) ;
        outtextxy( maxx - 50, (maxy/2) - 12, "Time" ) ;
        outtextxy( 28, 45, "Amplitude" ) ;
    }

if (observe == '0') /* baseband signal */
    if (graph_type == '1') /* DOTTED LINE */
        {
            outtextxy( 10, maxy - 30, "*" : channel a" ) ;
            outtextxy( 10, maxy - 20, "+" : channel b" ) ;
        }
    else
        {
            outtextxy( 10, maxy - 25, "solid line : channel a" ) ;
            outtextxy( 10, maxy - 15, "dash line : channel b" ) ;
        }

setlinestyle(0,1,1) ;
setcolor( 3 ) ; /* curve */
moveto( 25, maxy/2 ) ; /* origin */
}

/*****
* function drawgrid : draw grids *
* require          : (ext)maxx,maxy,step_width,observe,L *
* return           : - *
*****/
void drawgrid()
{
    int countx,county,temp ;

    setcolor(3) ; /* grid */
    setlinestyle(1,1,1); /* dotted-line,1 pixel width */

    for (countx = 25 ; countx < maxx ; countx += 8*L)
        line(countx,40,countx,maxy-40) ;/* vertical grid */

    for (county = 50 ; county < maxy ; county += 50)
        line(25,county,25,maxy) ;/* horizontal grid */
}

```

เอกสารนี้เป็นเอกสารที่สงวนไว้สำหรับการใช้งานเพื่อการศึกษาเท่านั้น ไม่ควรเผยแพร่โดยไม่ได้รับอนุญาต

ไม่ว่ากรณีใดๆทั้งสิ้น อีกทั้งห้ามมิให้ดัดแปลงเนื้อหา และต้องอ้างอิงถึงเจ้าของเอกสารทุกครั้งที่มีการนำไปใช้

```

temp = maxx-25-( 3*L*floor( (maxx-25) / (3*L) ) ) ;
line(25, ( (maxy/2)-county), maxx-temp, ((maxy/2)-county));
line(25, ( (maxy/2)+county), maxx-temp, ((maxy/2)+county));
}

setlinestyle(3,1,1) ;                               /* dash line */
line (25, ( (maxy/2)-128), maxx-temp, ((maxy/2)-128) ) ;
line (25, ( (maxy/2)+128), maxx-temp, ((maxy/2)+128) ) ;
setlinestyle(0,1,2) ;
setcolor(9) ;

if (observe == '2')                                  /* constellation */
    line(325,40,325,maxy-40) ;
else
    line(25,40,25,maxy-40) ;                          /* vertical axis */

line(25, (maxy/2), maxx-13, (maxy/2)) ; /* horizontal axis */
}

/*****
* function display : display output to screen in graph mode *
* require          : (double)value; (ext) (int) step,      *
*                  step_width, limitx, j, n               *
*                  resolve, maxx, maxy, graph_type, channel *
* return          : this funtion not return value        *
*****/
void display(double value, char channel)
{
    static int first = 0, countline = 0;
    static int ypos = 239, aposx = 25, aposy = 239,
              bposx = 25, bposy = 239, x, y ;
    static double count_step = 0, count = 0 ;
    int quantized_value = 0, tempcolor ;

    quantized_value = value ;

if (observe != '2') /* not constellation*/
{
    if (count_step >= limitx)
    {
        if ((resolve == '1') || (observe == '0'))
        {
            setcolor(9) ; /* blue text */
            outtextxy(maxx-250, maxy-25, "PRESS ANY KEY TO CONTINUE") ;
            clearviewport() ;
            setgraph() ;
            aposx = 25 ;
            bposx = 25 ;
        }
    }
else /* EYE DIAGRAM */
    {
        if (first < 3)
        {
            clearviewport() ;
            first++ ;
            setgraph() ;
        }
    }

    moveto(25, ypos) ; /* origin */
    step = 25 ; /* re-initial */
}

```

เอกสารนี้เป็นเอกสารที่จัดทำขึ้นเพื่อการใช้งานเพื่อวัตถุประสงค์อื่นที่ไม่อนุญาตให้นำไปใช้ประโยชน์ด้านการค้า

ไม่ว่ากรณีใดๆทั้งสิ้น อีกทั้งห้ามมิให้ดัดแปลงเนื้อหา และต้องอ้างอิงถึงเจ้าของเอกสารทุกครั้งที่มีการนำไปใช้

```

step += step_width ;          /* first step */
count_step = 0;
}                               /* end check limit */

if (resolve == '1')           /* PULSE * COEF */
{
    outtextxy(step, (maxy / 2) - quantized_value, (k==M) ? "+" : "");
    ypos = gety();
    if (count < 2 * M)
        count ++;
    else
    {
        count = 0;
        count_step ++;
        step += step_width;
    }
}                               /* end PULSE * COEF */
else
{
    switch (graph_type)        /* PAM_OUTPUT */
    {
        case '0' : { /* stair-case */
            if (observe == '0') /* baseband */
                if (channel == 'a')
                    moveto(aPosX, aPosY);
                else
                    moveto(bPosX, bPosY);
            lineto(step, gety()); /* STAIR-CASE */
            lineto(getx(), (maxy/2) - quantized_value);
            setlinestyle(0,1,1);
            } break;
        case '1' : { setcolor(channel == 'b' ? 4 : 2);
            outtextxy(step, (maxy/2) - quantized_value,
                (channel=='a') ? "*" : "+");
            } break;
        case '2' : { /* smoothed line */
            if (observe == '0') /* baseband */
                if (channel == 'a')
                    moveto(aPosX, aPosY);
                else
                    moveto(bPosX, bPosY);
            lineto(step, (maxy/2) - quantized_value);
            setlinestyle(0,1,1);
            }
        break;
        default: printf("\ndefault graph_type in display_graph");
            exit(1);
    } /* end switch */
    if (observe == '0') /* baseband */
        if (channel == 'b')
        {
            count_step ++;
            step += step_width; /* next x position */
            bPosX = getx();
            bPosY = gety();
        }
        else /* channel a */
            aPosX = getx();
}

```

เอกสารนี้เป็นเอกสารที่สงวนไว้สำหรับอาจารย์ผู้สอน; เพื่อการศึกษาเท่านั้น ไม่อนุญาตให้นำไปใช้ประโยชน์ด้านการค้า  
ไม่ว่ากรณีใดๆทั้งสิ้น อีกทั้งห้ามมิให้ดัดแปลงเนื้อหา และต้องอ้างอิงถึงเจ้าของเอกสารทุกครั้งที่มีการนำไปใช้

```

        aposy = gety() ;
    }
    count_step ++ ;
    step += step_width ; /* next x position */
    ypos = gety() ;     /* next y cursor */
} /* end PAM */
} /* end baseband */
else
{
    /* constellation */
    if (channel == 'a')
        x = quantized_value ;
    else /* channel b */
    {
        y = quantized_value ;
        putpixel(325-x,240-y,4);
    }
} /* end display */

/*****
 * function quantize : calculate value for display on graph *
 * require          : (double)output *
 * return           : (int)quantized output *
 *****/
int quantize(double output)
{
    return output >= 0 ? floor(fabs(output/sqrt(2.0))*128) :
        -floor(fabs(output/sqrt(2.0)) * 128) ;
}

/*****
 * function mod : modulate, quantize and store in file *
 * require      : pam_output_a, pam_output_b, (ext)j, k, L, M *
 * return       : *
 *****/
int mod(double pam_a, double pam_b, int j, int L, char channel)
{
    double c, mod_a, mod_b, time, sine, cosi ;
    int temp=0;

    time = (double)2*j/(double)L ;
    sine = sin(2*PI*time) ;
    cosi = cos(2*PI*time) ;
    mod_a = pam_a*cosi ;
    mod_b = pam_b*sine;

    c = mod_a + mod_b ;
    temp = quantize(c) ;
    return(temp) ;
}

```



```

/*****
 * function : assign value of bits in 1 charactor from array[] *
 * require  : (extern)array[], (struct)ch *
 * return   : (char)ch.byte *
 *****/
char setsym(int array[])
{
    int dibit[4];
    union { char byte ;
            struct { unsigned int dibit3: 2 ;
                    unsigned int dibit2: 2 ;
                    unsigned int dibit1: 2 ;
                    unsigned int dibit0: 2 ;
                    } quad ;
        } ch ;

    ch.quad.dibit0 = array[0] ;
    ch.quad.dibit1 = array[1] ;
    ch.quad.dibit2 = array[2] ;
    ch.quad.dibit3 = array[3] ;
    return ch.byte;
}

/*****
function coef : return coefficient of each modulation mode *
 *****/
int coef(int a,int b)
{
    return quad(a,b);
}

/*****
function threshold : define minimum level *
 *****/
int threshold(int data)
{
    int temp;

    temp = (data/2) ;
    return temp;
}

/*****
function quad : return coefficient of QPSK *
 *****/
int quad(int a,int b)
{
    int temp,index,tempa,tempb;
    double table[4] = {0,1,2,3};

    tempa = (a-128);
    tempb = (b-128);
    index = ( (tempa > 0) ? 2 : 0 )+( (tempb > 0)? 1 : 0) ;
    temp = table[index];
    return temp ;
}

```

เอกสารนี้เป็นเอกสารที่สงวนไว้สำหรับการใช้งานเพื่อการศึกษาเท่านั้น ไม่อนุญาตให้นำไปใช้ประโยชน์ด้านการค้า  
ไม่ว่ากรณีใดๆทั้งสิ้น อีกทั้งห้ามมิให้ดัดแปลงเนื้อหา และต้องอ้างอิงถึงเจ้าของเอกสารทุกครั้งที่มีการนำไปใช้

```

/*****
RING.C-source code : multiply bandpass c.mod with carrier
                    sin(wt) and cos(wt),
                    output baseband files are abp.mod and
                    bbp.mod
*****/

#include <stdlib.h>
#include <stdio.h>
#include <math.h>
#include <conio.h>
#include <dos.h>
#include <dir.h>
#include <string.h>
#include <process.h>
#include <io.h>

#define PI 3.141592654

int quan(double volt);
int demod(int c,int j,int L,int channel);

void main()
{
    int    j=1,L=24,i,c=0;
    FILE   *fp,*fpa,*fpb;
    double time,temp,a,b;
    int    fsize=0;

    clrscr();

    fp = fopen("c.mod","rb");
    fpa = fopen("abp.mod","wb");
    fpb = fopen("bbp.mod","wb");

    fsize = filelength(fileno(fp));
    c = getc(fp);

    while( j <= fsize )
    {
        a = demod(c,j,L,'a');
        b = demod(c,j,L,'b');
        putc(a,fpa);
        putc(b,fpb);
        c = getc(fp);
        j++;
    }

    fclose(fp);
    fclose(fpa);
    fclose(fpb);
}

int quan(double output)
{
    return output >= 0 ? floor(fabs(output/sqrt(2.0)) * 128) :
}

```

เอกสารนี้เป็นเอกสารที่สงวนไว้สำหรับการใช้งานเพื่อการศึกษาเท่านั้น ไม่อนุญาตให้นำไปใช้ประโยชน์ด้านการค้า  
ไม่ว่ากรณีใดๆทั้งสิ้น อีกทั้งห้ามมิให้ดัดแปลงเนื้อหา และต้องอ้างอิงถึงเจ้าของเอกสารทุกครั้งที่มีการนำไปใช้

```

/*****
* function demod : multiply c.mod with sin and cos byte by byte
*
* return : bandpass signal in file abp.mod and bbp.mod
*****/
int demod(int c,int j,int L,int channel)
{
    double time,sine,cosi,tempc,temp,integer ;

    time=(fmod(j,L)==0)?1:modf((double)j*2/(double)L,&integer);
    sine = sin(2*PI*time);
    cosi = cos(2*PI*time);
    tempc = (c-128)*sqrt(2.0)/128;

    if (channel == 'a')
        temp = tempc*cosi;
    else
        temp = tempc*sine;

    return(quan(temp)+128);
}

```



เอกสารนี้เป็นเอกสารที่สงวนไว้สำหรับการใช้งานเพื่อการศึกษาเท่านั้น ไม่อนุญาตให้นำไปใช้ประโยชน์ด้านการค้า  
ไม่ว่ากรณีใดๆทั้งสิ้น อีกทั้งห้ามมิให้ดัดแปลงเนื้อหา และต้องอ้างอิงถึงเจ้าของเอกสารทุกครั้งที่มีการนำไปใช้

```

/*****
* INPORT.C : receive data byte from printer port by ADC *
*           synchronize by checking status port *
*****/

```

```

#include <dos.h>
#include <conio.h>
#include <stdio.h>
#include <bios.h>

#define DATA_PORT 0x0378
#define STAT_PORT 0x0379
#define CTRL_PORT 0x037A

```

```

main()
{
    int b,c,s,count=0 ;
    FILE *fp;

    clrscr() ;
    fp = fopen("c.rx","wb") ;
    printf("\tTHIS IS DATA READ FROM PRINTER PORT\n");

    outportb(DATA_PORT,0xFF);

    for(b=0;b<=filesize;b++)
    {
        s = inportb(STAT_PORT);
        s = s&0x40;
        while(s==0x40)
        {
            s =inportb(STAT_PORT);
            s=s & 0x40 ;
        }
        c = inportb(DATA_PORT);
        //delay loop
        for(count=0;count<11500;count++) {}
        if(c>=255)
            c =254;
        if(c<=0)
            c = 1;
        printf("%c",c);
        putc(c,fp);
    }
    fclose(fp) ;
}

```

เอกสารนี้เป็นเอกสารที่สงวนไว้สำหรับการใช้งานเพื่อการศึกษาเท่านั้น ไม่อนุญาตให้นำไปใช้ประโยชน์ด้านการค้า  
ไม่ว่ากรณีใดๆทั้งสิ้น อีกทั้งห้ามมิให้ดัดแปลงเนื้อหา และต้องอ้างอิงถึงเจ้าของเอกสารทุกครั้งที่มีการนำไปใช้

```

/*****
 * OUTPORT.C : source code to send data from file c.mod
 *             to printer port byte-by-byte
 *****/

#include <dos.h>
#include <conio.h>
#include <stdio.h>

#define ESC 0x1B

#define DATA_PORT 0x0378
#define CTRL_PORT 0x037A

main()
{
    int data_out = '\x0';
    unsigned long count, loop;
    FILE *fp;

    clrscr();
    biosprint(1, ' ', 0); /*initial LPT1, send 0 to reset pin16 */
    data_out=0xFF;

    fp = fopen("c.mod", "rb"); /* file to send out to DATA_PORT */

    data_out = getc(fp);
    outportb(CTRL_PORT, 0);
    outportb(CTRL_PORT, 4); /* reset output device*/
    loop = 2000;

    while(data_out != EOF)
    {
        outportb(DATA_PORT, data_out);

        for(count = 0 ; count < loop ; count++) { }

        outportb(CTRL_PORT, 5); /* 0101 strobe H to L */
        for(count = 0 ; count < (loop/1000) ; count++) { }

        outportb(CTRL_PORT, 4); /* 0100 strobe L to H */

        data_out=getc(fp);

        putchar(data_out);
    }
    fclose(fp);
}

```

เอกสารนี้เป็นเอกสารที่สงวนไว้สำหรับการใช้งานเพื่อการศึกษาเท่านั้น ไม่อนุญาตให้นำไปใช้ประโยชน์ด้านการค้า  
ไม่ว่ากรณีใดๆทั้งสิ้น อีกทั้งห้ามมิให้ดัดแปลงเนื้อหา และต้องอ้างอิงถึงเจ้าของเอกสารทุกครั้งที่มีการนำไปใช้

## เอกสารอ้างอิง

- [1] F. Davarian and J.T. Sumida, "A Multipurpose Digital Modulator." IEE Communication Magazine, pp. 36-45, Feb. 1987.
- [2] W.F.Tomasi, "Advanced Electronic Communications Systems," Prentice-Hall, 1987.
- [3] R.A.Meyers, "Encyclopedia of Telecommunications," Academic Pres, 1989.
- [4] W.Schweber, "Electronic Communication Systems," Prentice-Hall, 1991.
- [5] H.Stark, F.Tuteur, and J.B.Anderson, "Modern Electrical Communications," Prentice-Hall, 1988.
- [6] H.W.Couch, "Digital and Analog Communication Systems," Macmillan, 1987.
- [7] H.B.Killen, "Digital Communications with Fiber Optic and Satellite Applications," Prentice-Hall, 1988.
- [8] M.S.Roden, "Digital Communication System Design," Prentice-Hall, 1988.

### กิตติกรรมประกาศ

ปริญญานิพนธ์ฉบับนี้สำเร็จลุล่วงด้วยดีตามเป้าหมายที่ตั้งไว้อันเนื่องมาจากความร่วมมือเป็นอย่างดีของเพื่อนร่วมงานในกลุ่ม เพื่อนหลายคนคอยช่วยเหลือและให้กำลังใจ สำหรับบุคคลที่สำคัญเป็นอย่างยิ่ง ที่ทำให้ปริญญานิพนธ์นี้ประสบผลสำเร็จ คืออาจารย์ที่ปรึกษา ผศ.ดร. กอบชัย เดชหาญ ซึ่งให้คำปรึกษาและกำลังใจตลอดมา รวมทั้งรุ่นพี่อีกสองท่านที่คอยช่วยในการแก้ไขปัญหาในการทำงาน คือ พันพรัตน์ สิงโตโรจน์ และ พิศงดา คุณพันธ์ จึงขอขอบพระคุณทุกท่านมา ณ ที่นี้ด้วย



เอกสารนี้เป็นเอกสารที่สงวนไว้สำหรับการใช้งานเพื่อการศึกษาเท่านั้น ไม่อนุญาตให้นำไปใช้ประโยชน์ด้านการค้า  
ไม่ว่ากรณีใดๆทั้งสิ้น อีกทั้งห้ามมิให้ดัดแปลงเนื้อหา และต้องอ้างอิงถึงเจ้าของเอกสารทุกครั้งที่มีการนำไปใช้